

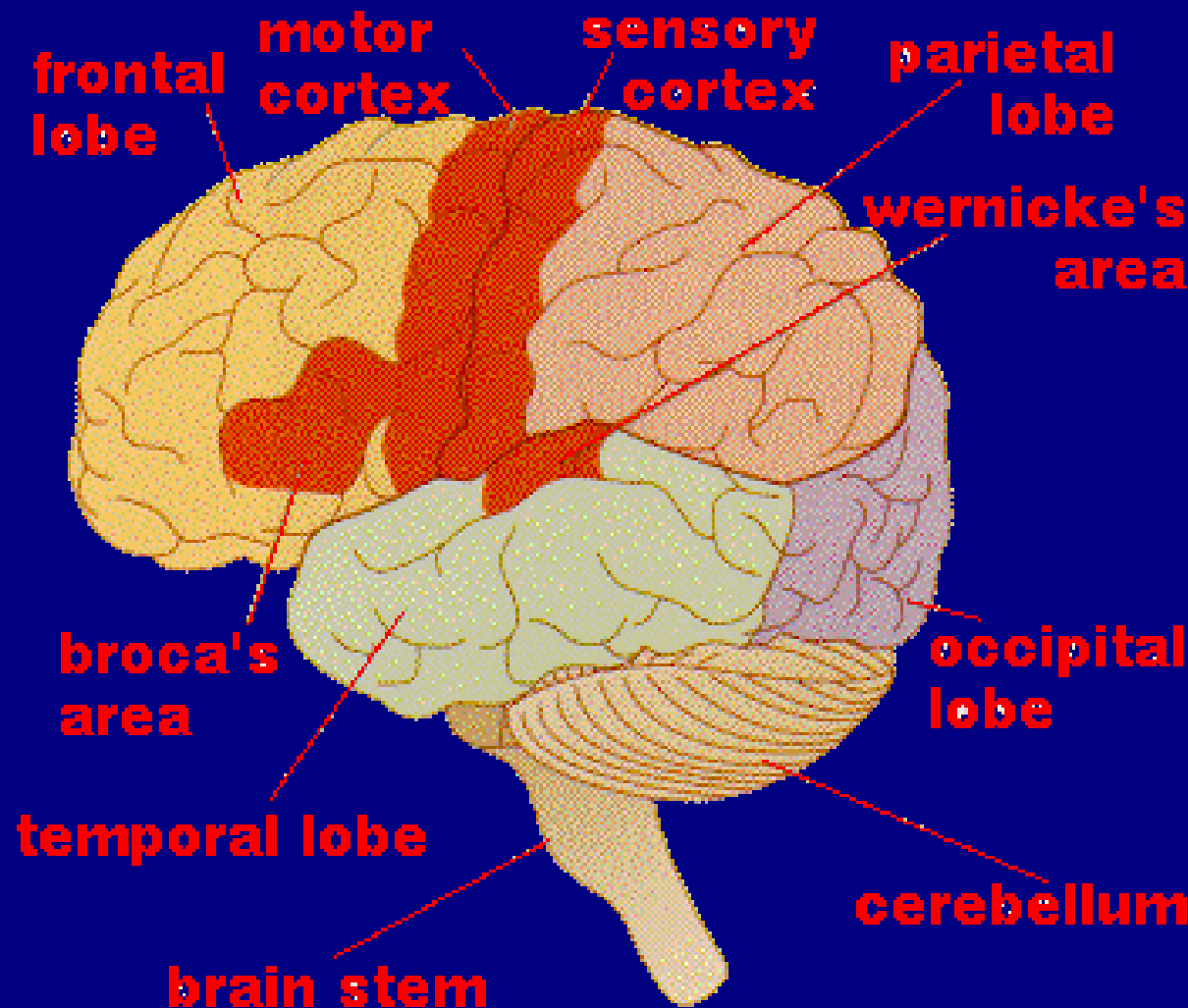
Atractores continuos y biestabilidad en la corteza cerebral

Albert Compte

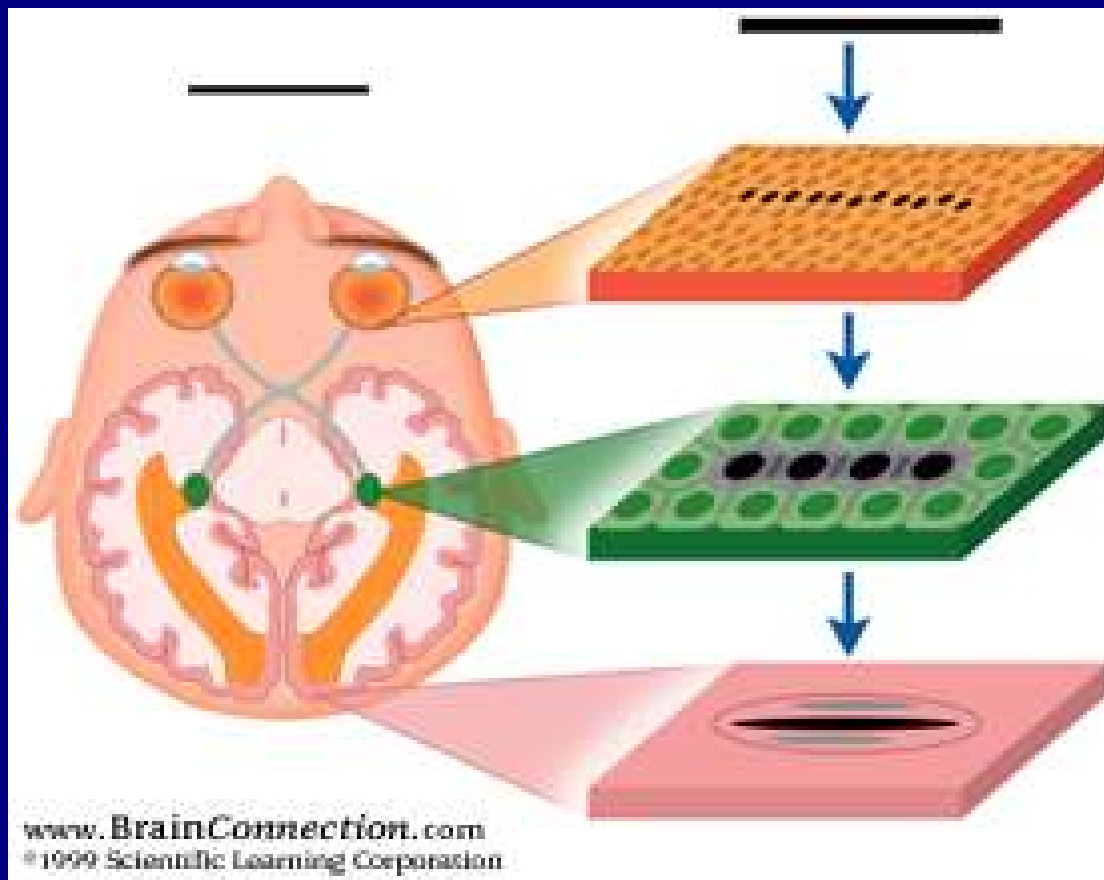
Instituto de Neurociencias de Alicante
UMH-CSIC

Murcia, septiembre 2004

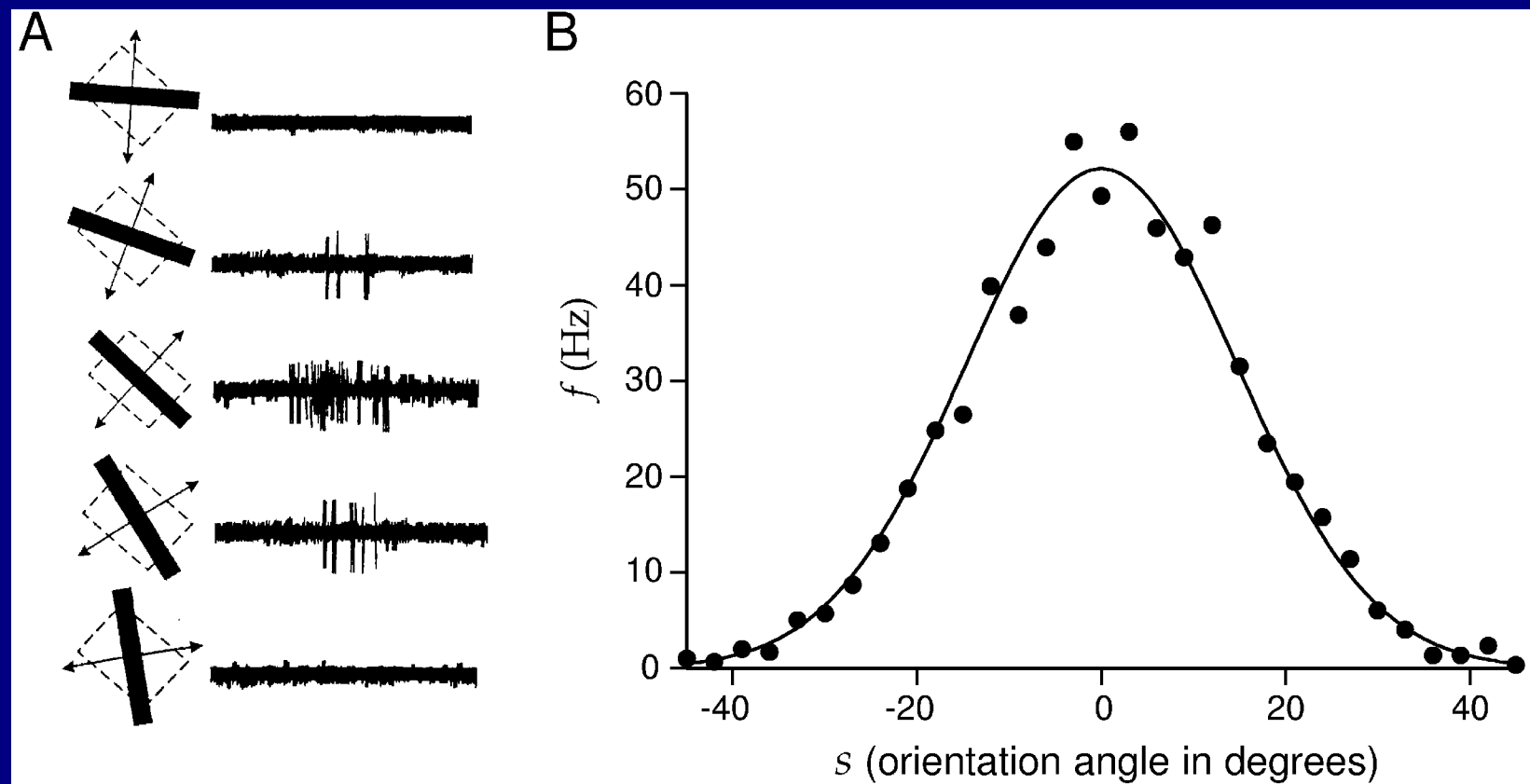
codificación de estímulos continuos en 3 áreas cerebrales



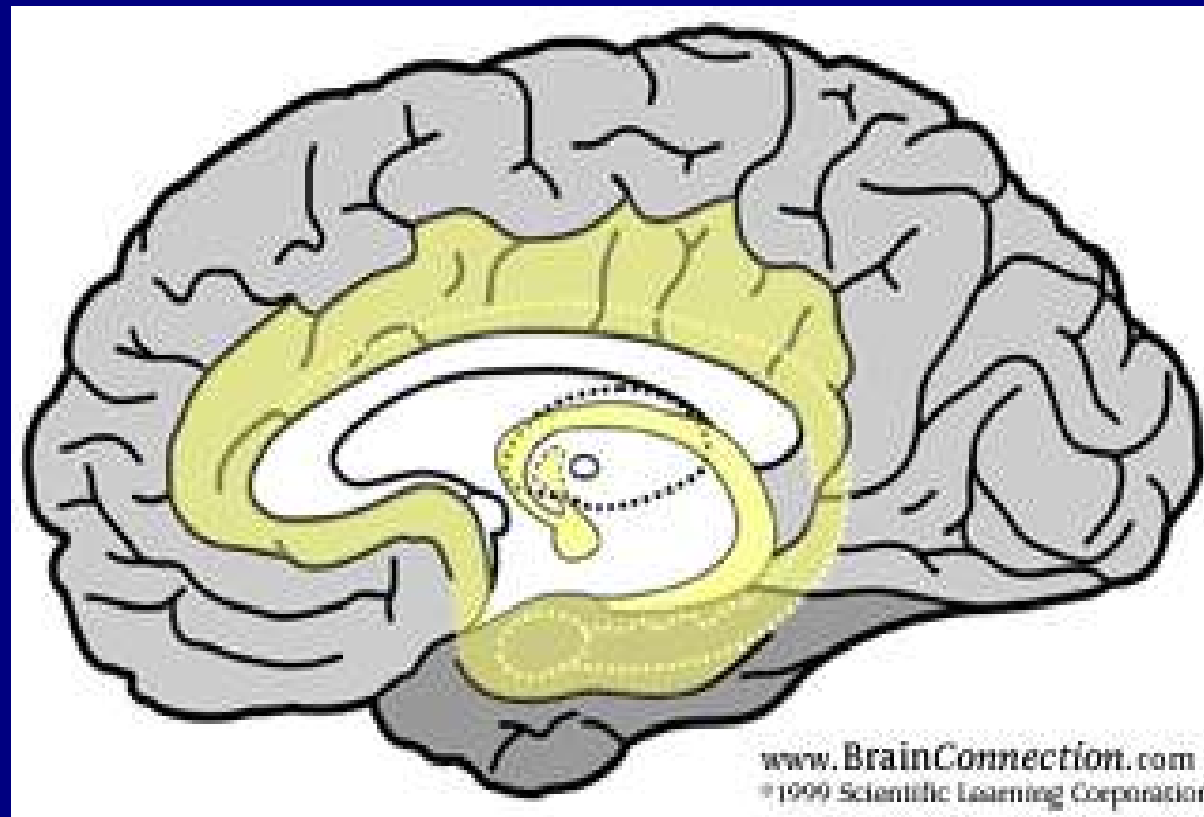
Visión – Respuestas en V1



Visión – Respuestas en V1

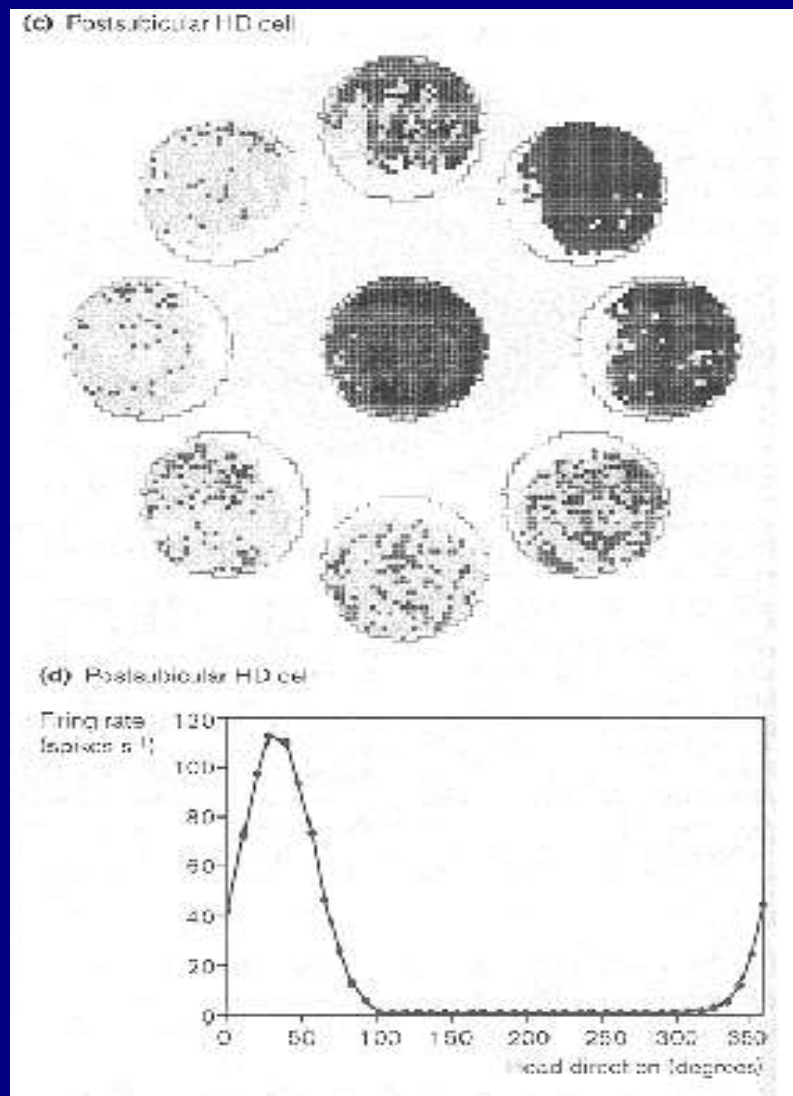


Head-direction cells en PoS

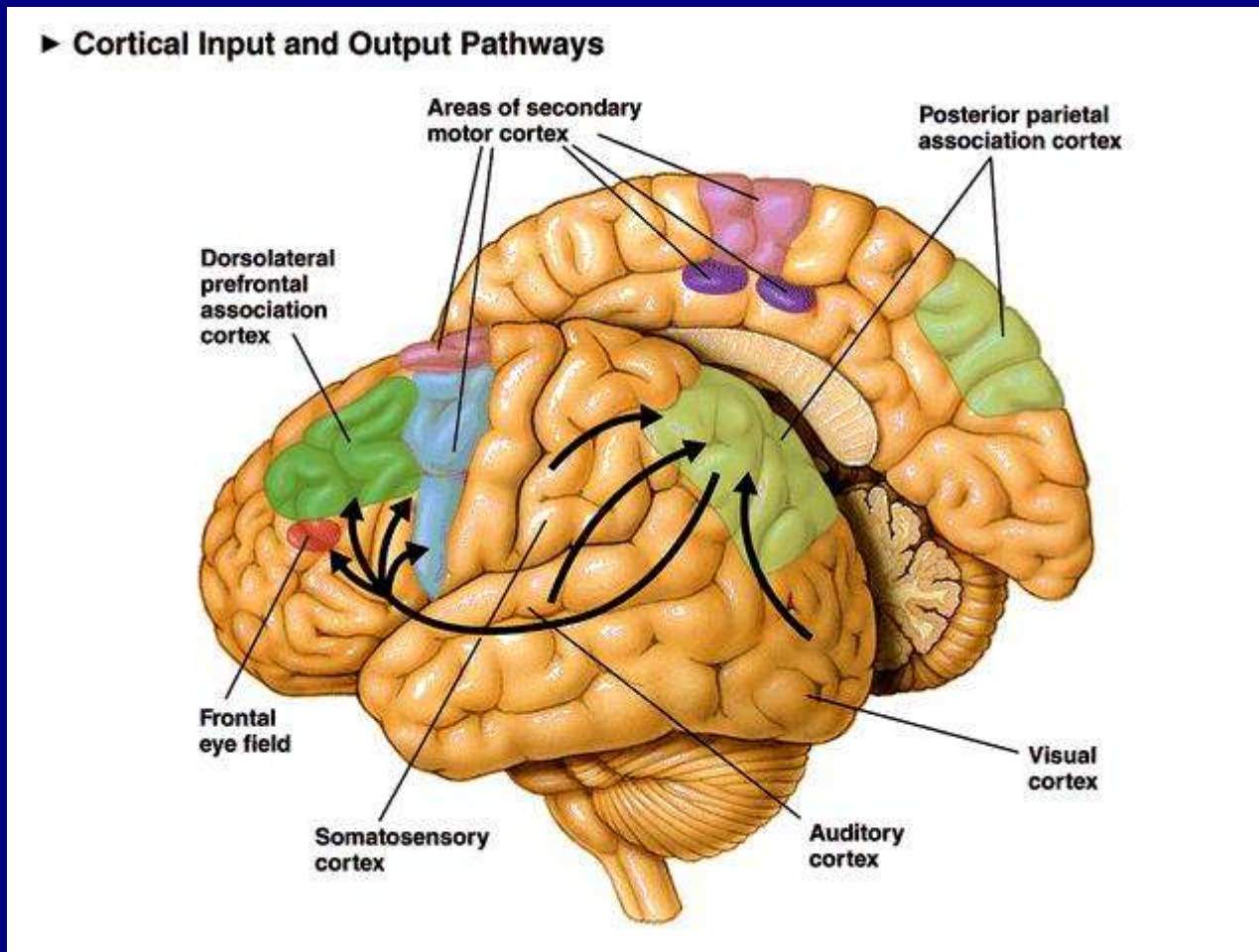


www.BrainConnection.com
© 1999 Scientific Learning Corporation

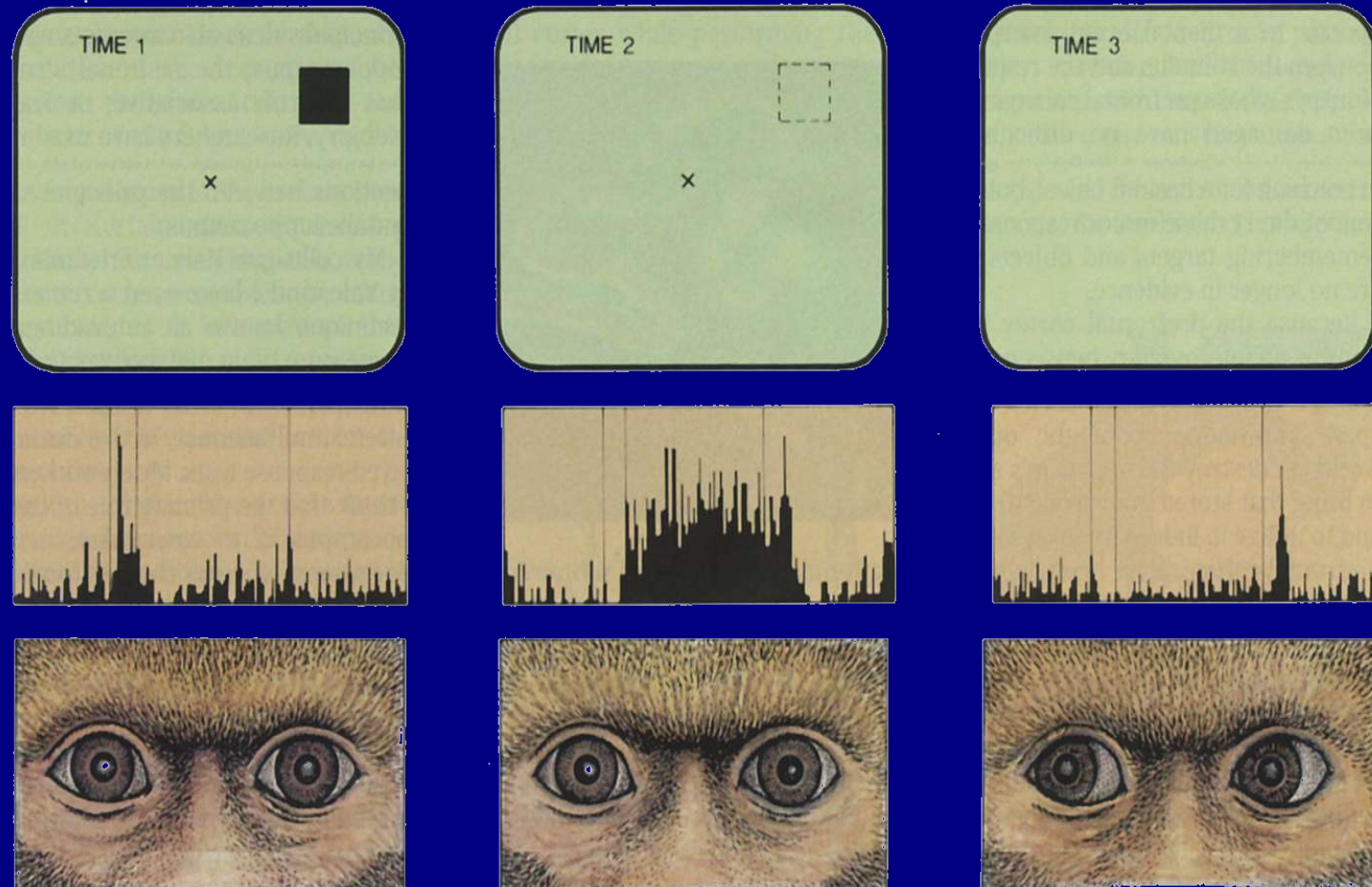
Head-direction cells en PoS



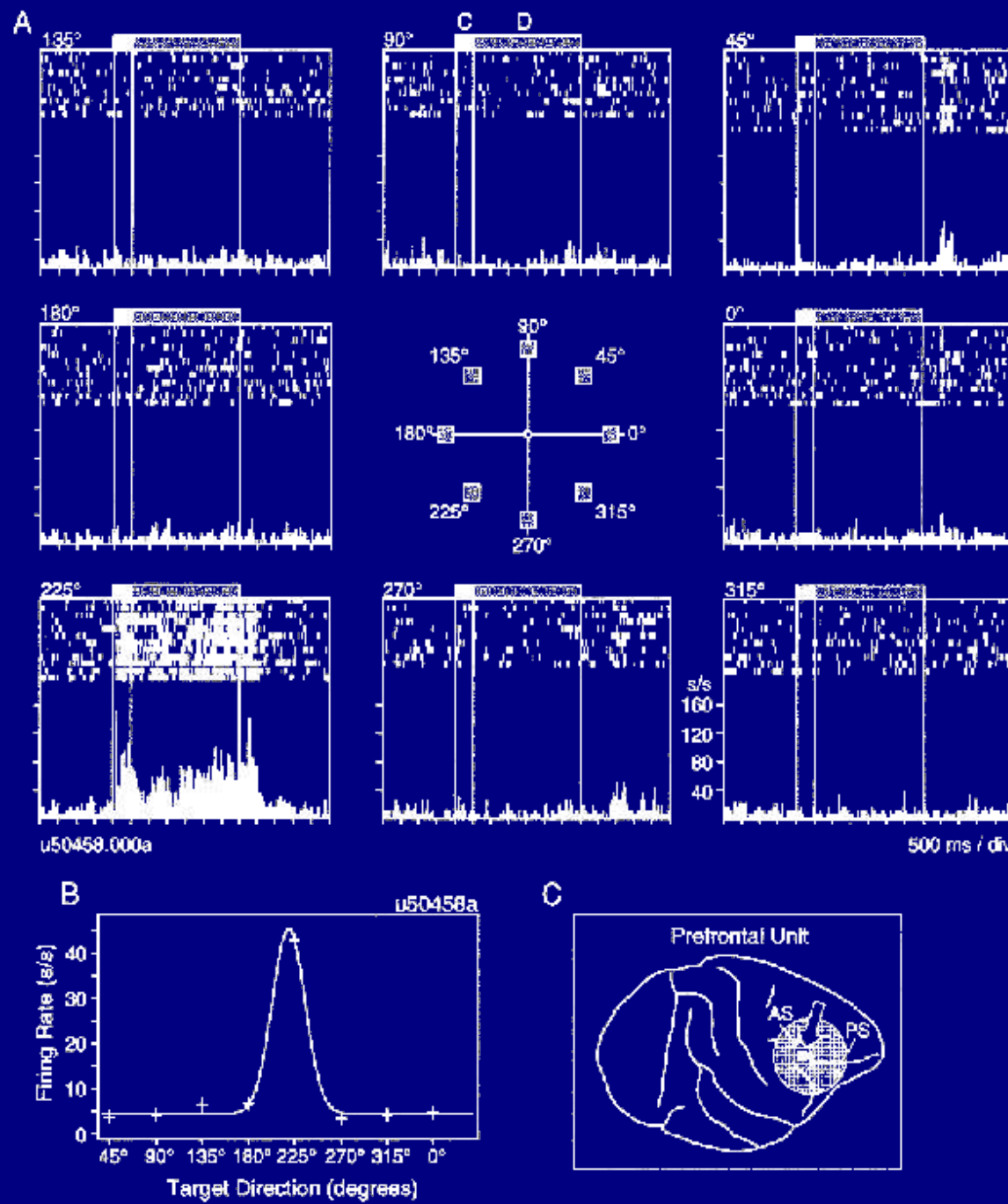
Actividad persistente en PFC



Actividad persistente en PFC



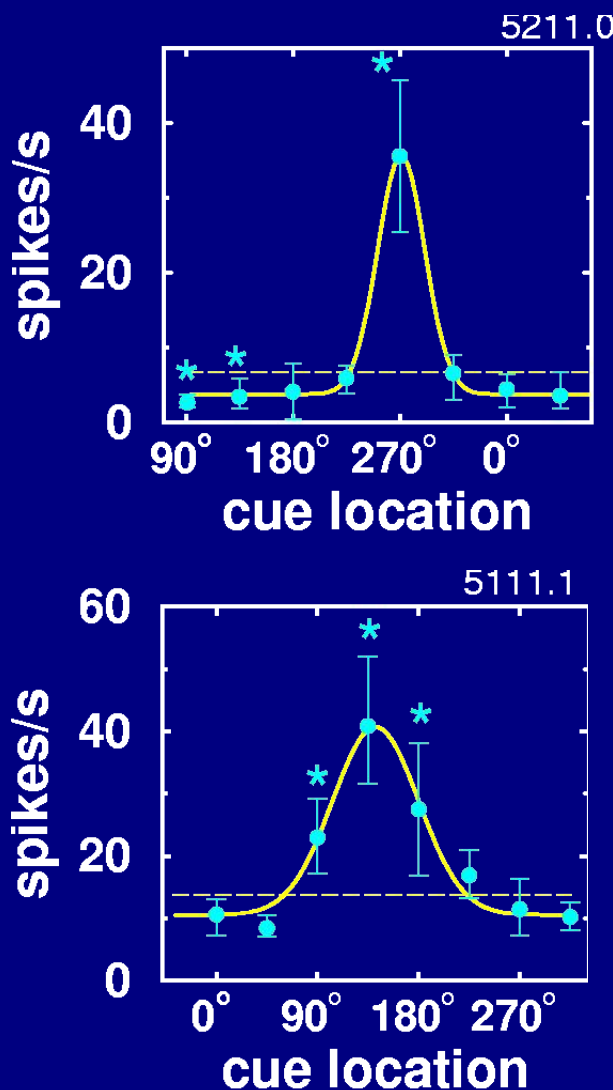
P. S. Goldman-Rakic, Scientific American, Sep 1992, p. 111



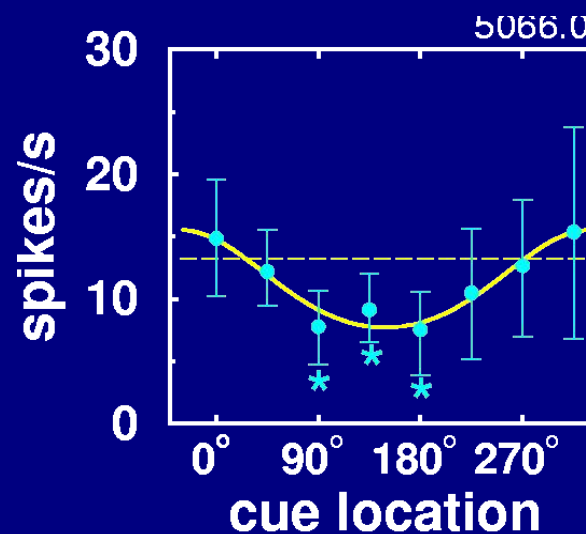
Chafee and Goldman-Rakic, J. Neurophysiol. **79**:2919 (1998)

Data from Funahashi *et al.*, J. Neurophysiol. 61:331 (1989)

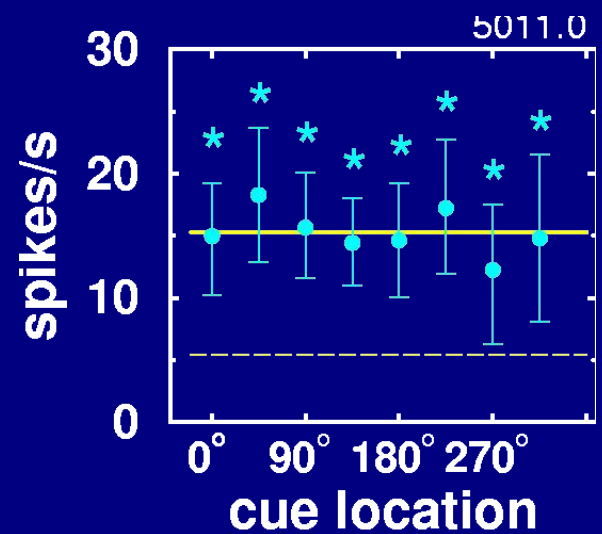
Upright tuning



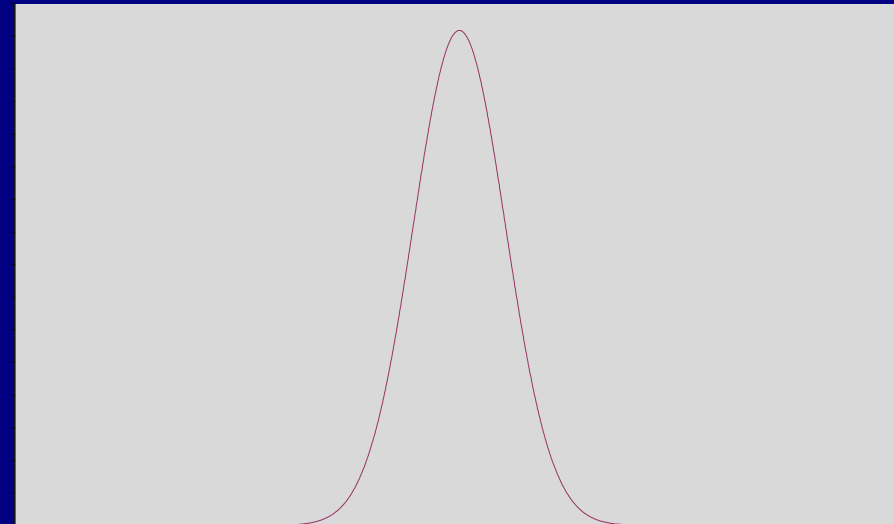
Inverted tuning



No tuning



Codificación continua por población en V1, PoS y PFC

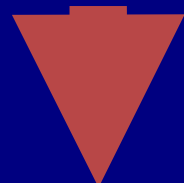


¿Atractor continuo como base de la memoria espacial de corto alcance?

Los datos sugieren biestabilidad entre estados dinámicos en la red cortical de PFC

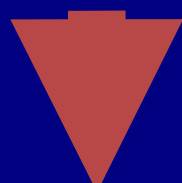
Ante el estímulo las tres áreas muestran actividad similar, pero en ausencia del estímulo...

V1



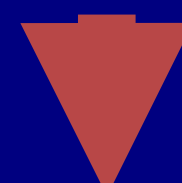
Actividad
espontánea
sin estructura

Head direction cells



Actividad
persistente y
estructurada

PFC

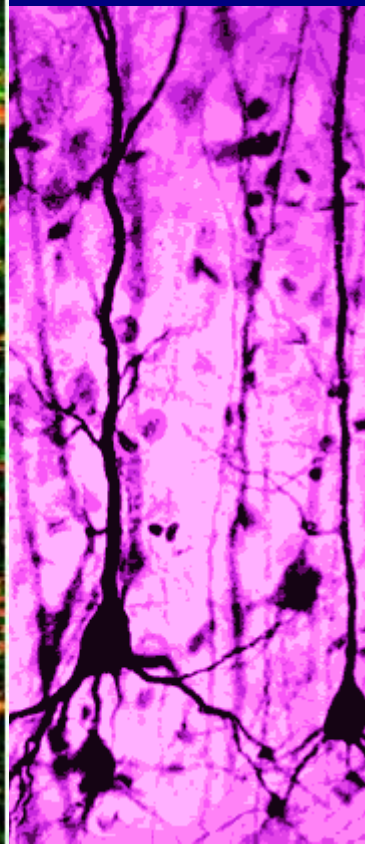
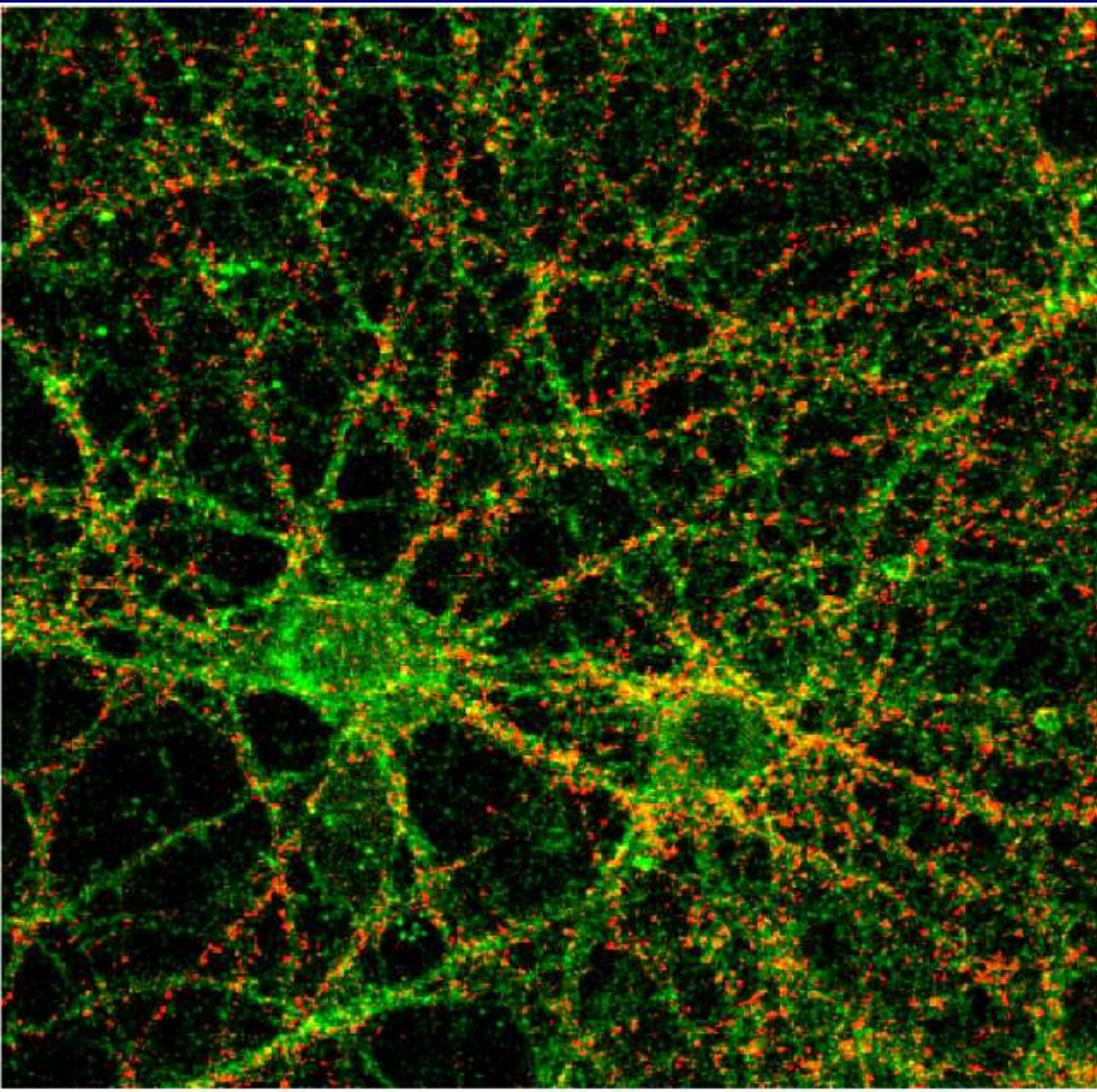
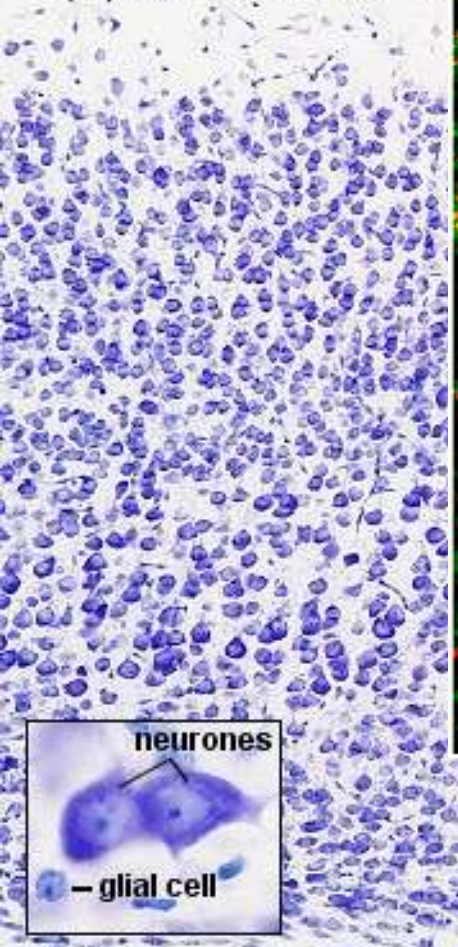


Actividad
espontánea o
persistente
estructurada
según historia
previa

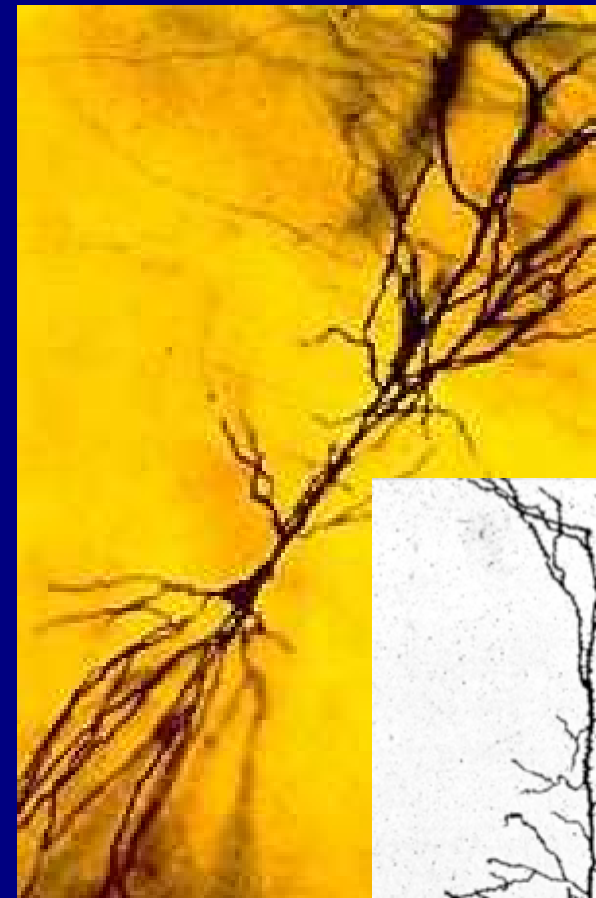
Cuestiones

- ¿Tiene la corteza cerebral mecanismos capaces de generar esta biestabilidad?
- ¿Qué mecanismos son más críticos para los distintos aspectos: biestabilidad y persistencia?

Forebrain, Cortex Giemsa

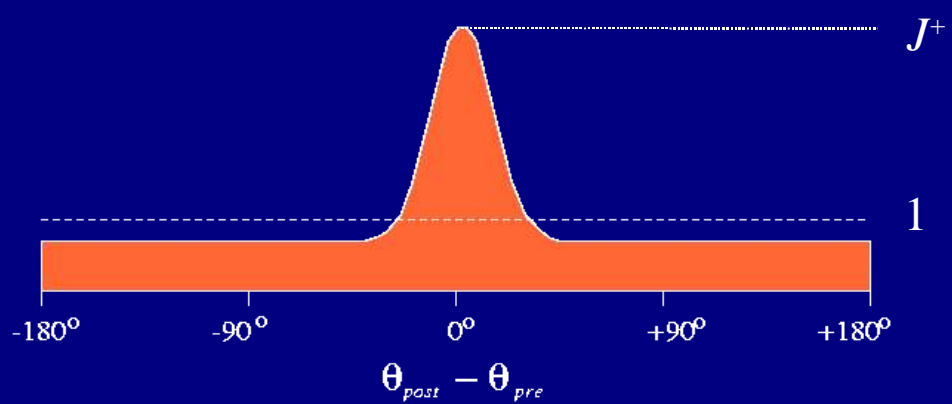


VI



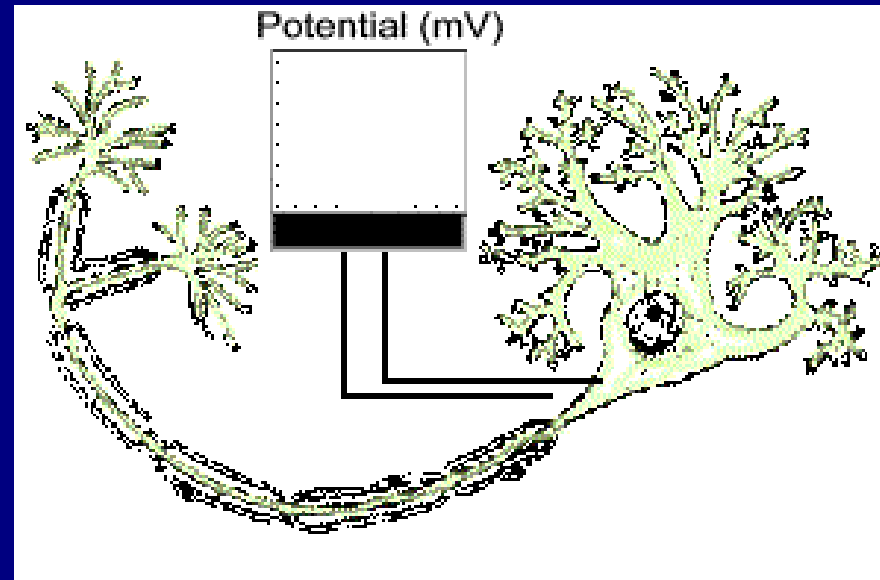
Un modelo de red

aproximamos la complejidad de la conectividad cortical (dendritas + axones) con funciones de peso sináptico:



disponemos las neuronas en un anillo unidimensional según su selectividad

Las neuronas de la red

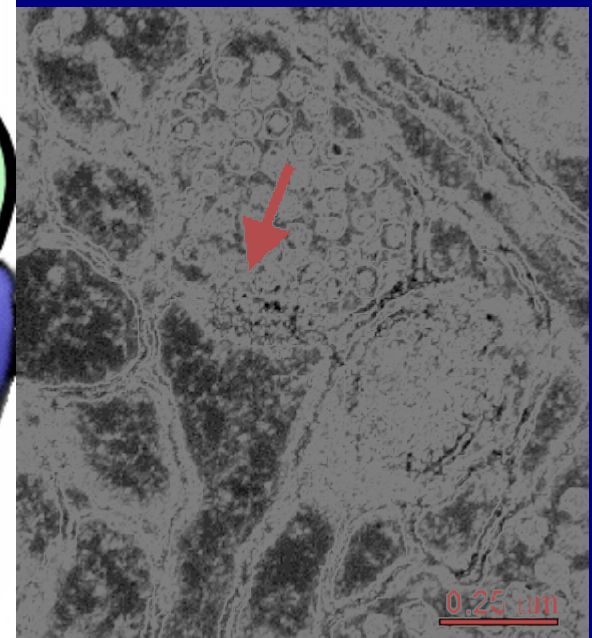
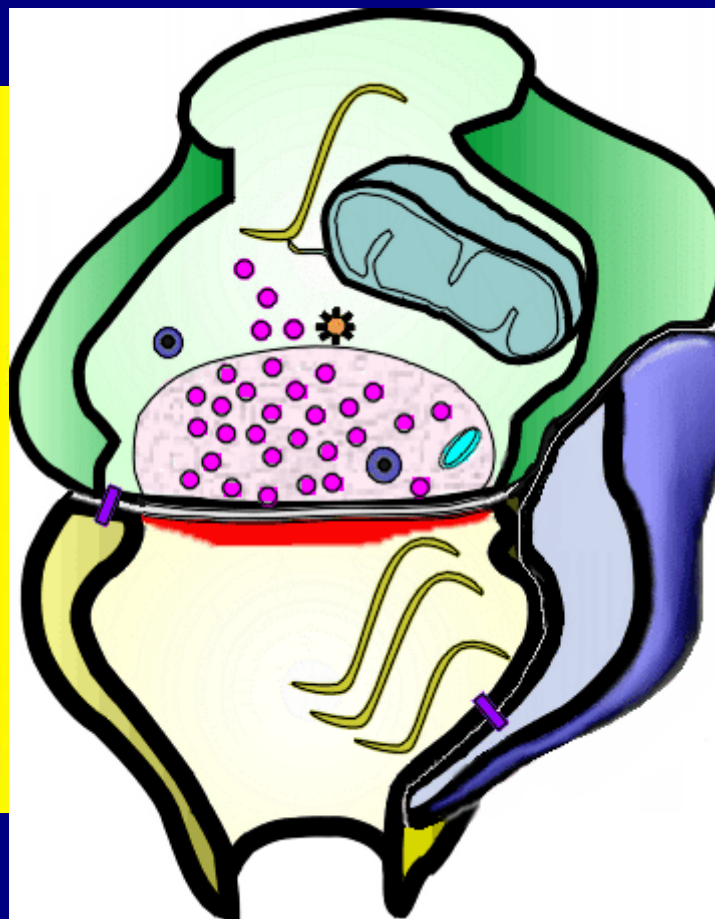
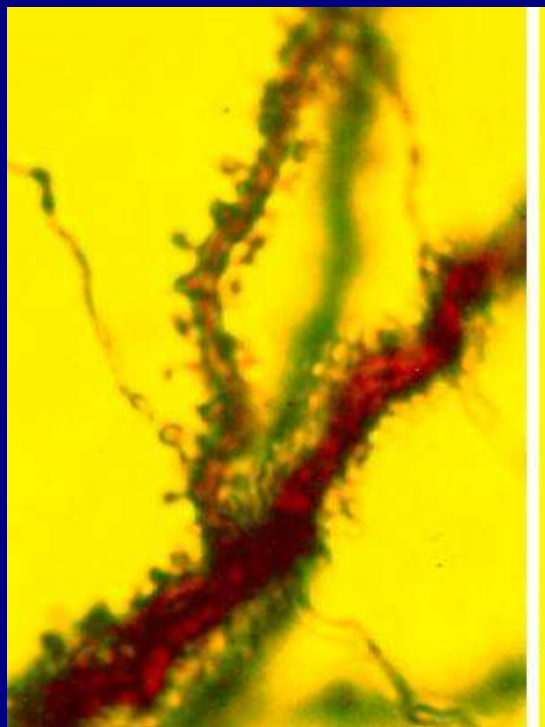


usamos el modelo de integración y disparo:

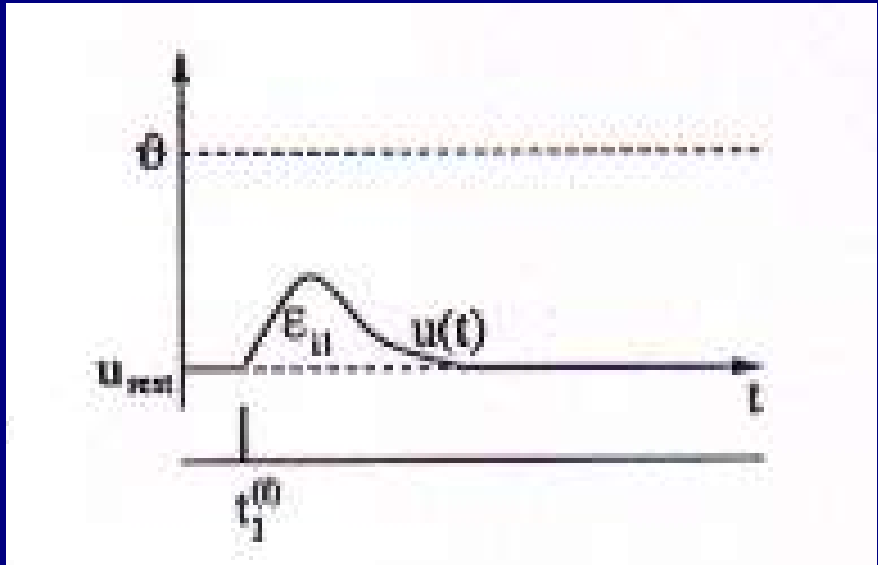
$$m \frac{dV}{dt} = -V + I(t)$$

$$\text{si } V(t) \geq V_{th} \Rightarrow V(t+ \Delta t) = 0$$

Las conexiones: sinapsis



Las conexiones: sinapsis



$$\frac{ds}{dt} = (1-s)x - \frac{s}{\tau_s}$$

$$\frac{dx}{dt} = \sum_j \left(t - t_j \right) - \frac{x}{\tau_x}$$

$$I(t) = -g_s s(t) (V(t) - E_{syn})$$

inhibición $E_{syn} \simeq 0$

$\tau_s \simeq 10$ ms GABA_A

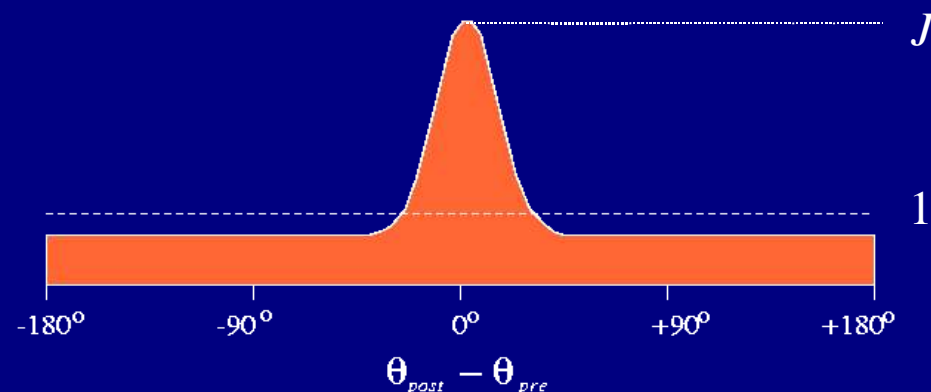
excitación $E_{syn} = 70$ mV ...

$\tau_s \simeq 100$ ms NMDA

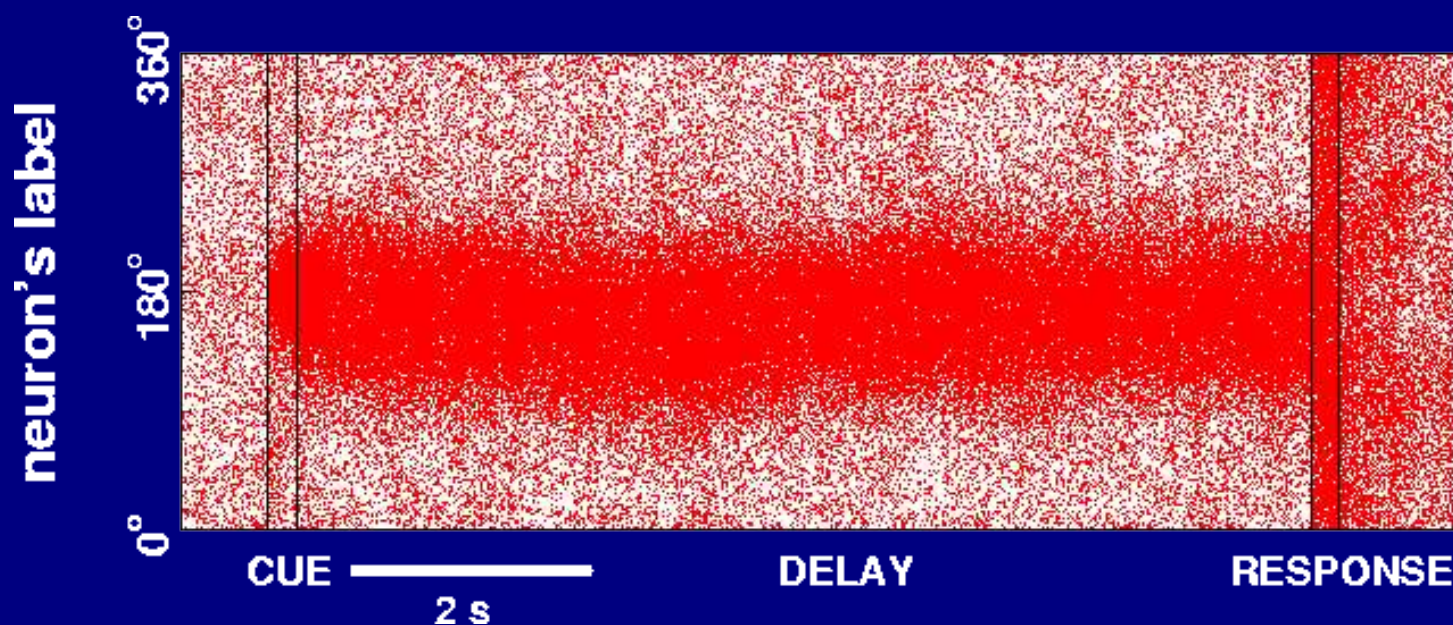
$\tau_s \simeq 2$ ms AMPA

Un modelo de red cortical para memoria de trabajo

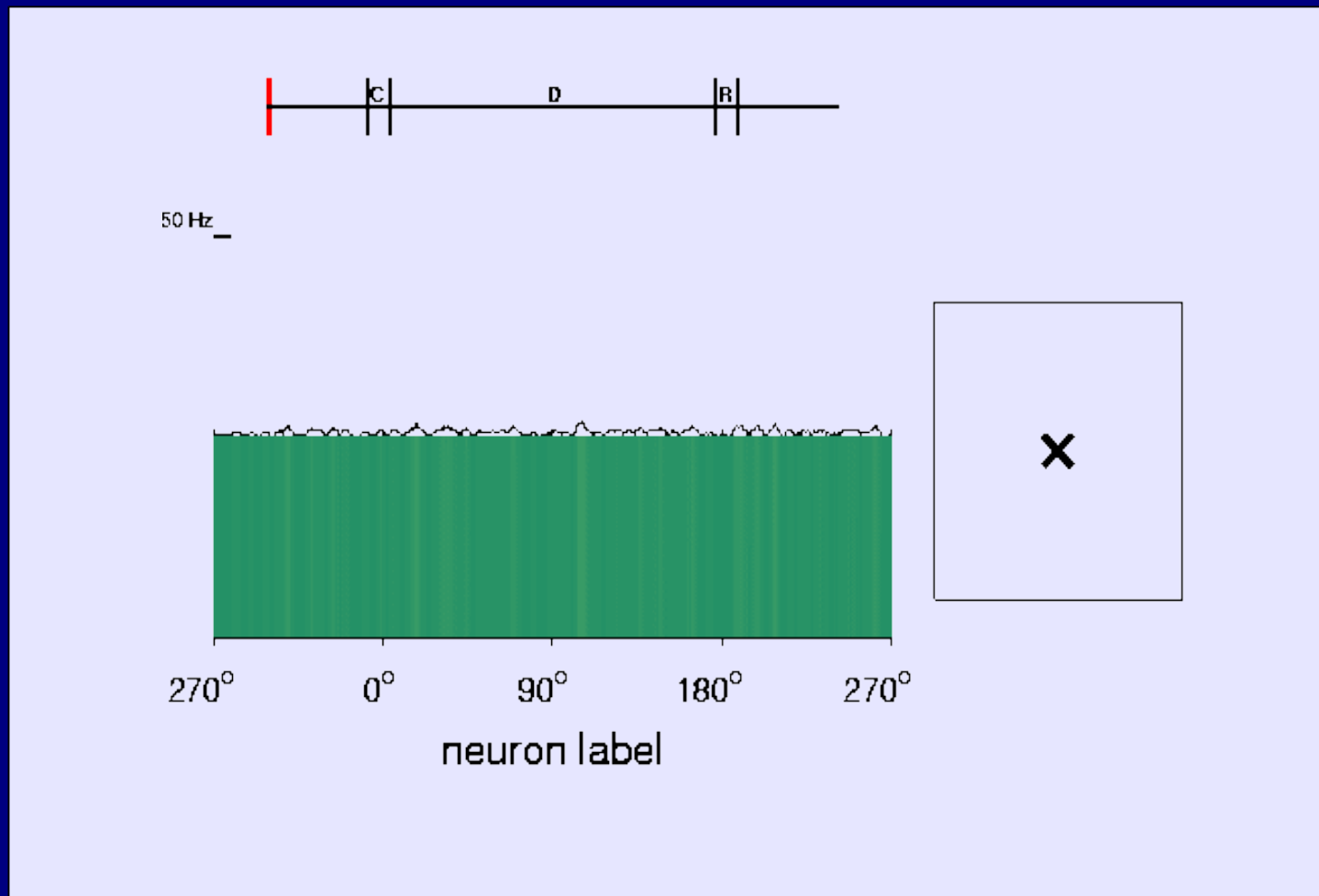
- 2 poblaciones de neuronas (excitatorias e inhibitorias) integrate-and- fire dispuestas en un anillo
- cinética sináptica realista a nivel biológico (AMPA, NMDA y GABA_A)
- excitación externa continua a través de canales AMPA con disparo de tipo Poisson
- conectividad E-a-E estructurada:



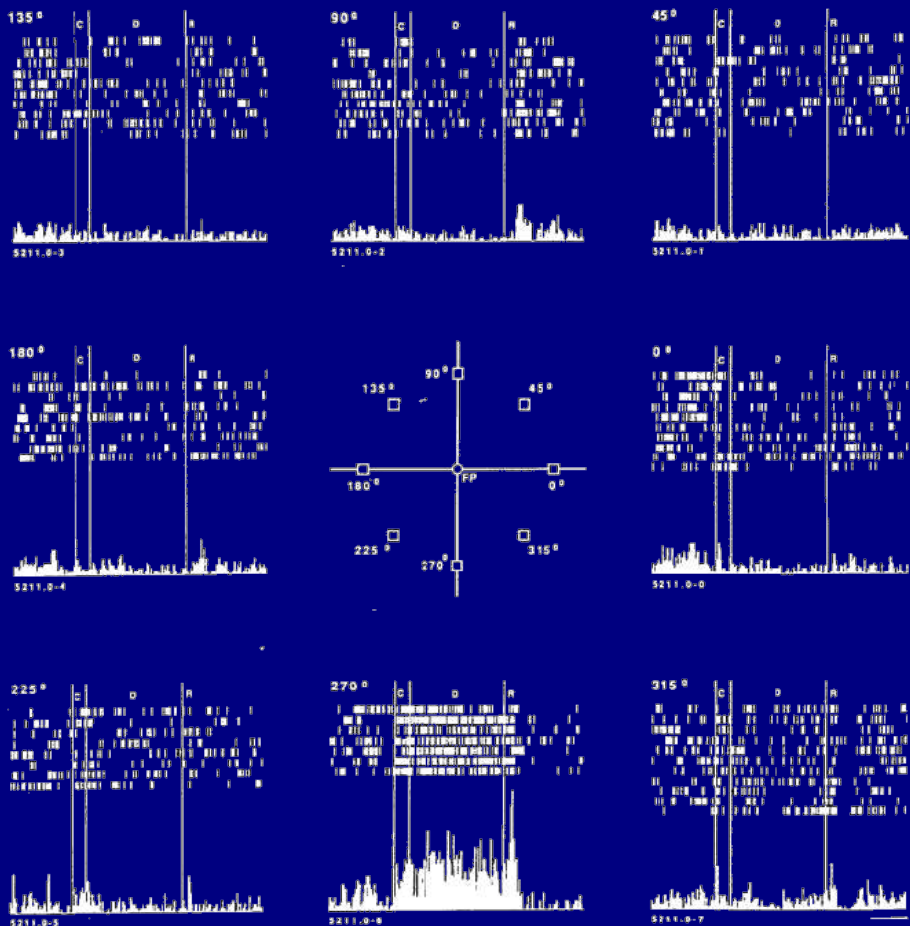
Funcionamiento del modelo de red



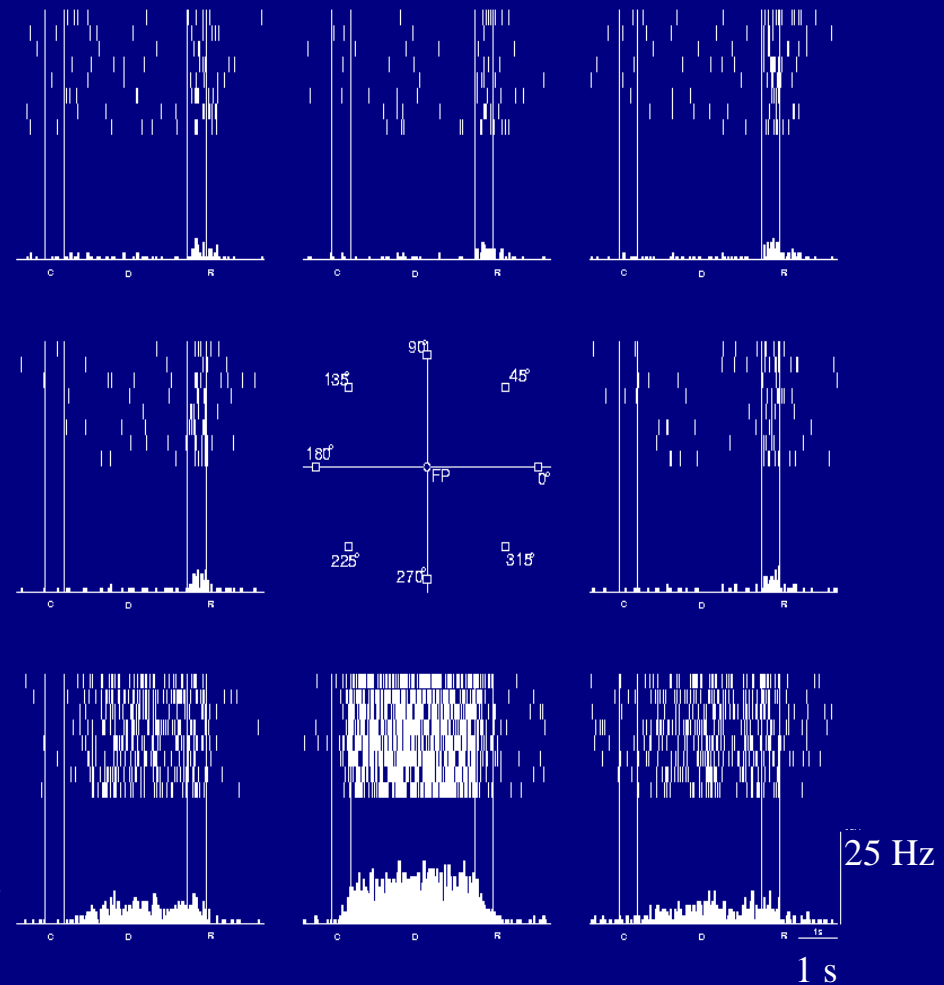
(Compte et al. Cerebral Cortex 10:910, 2000)



Experimento



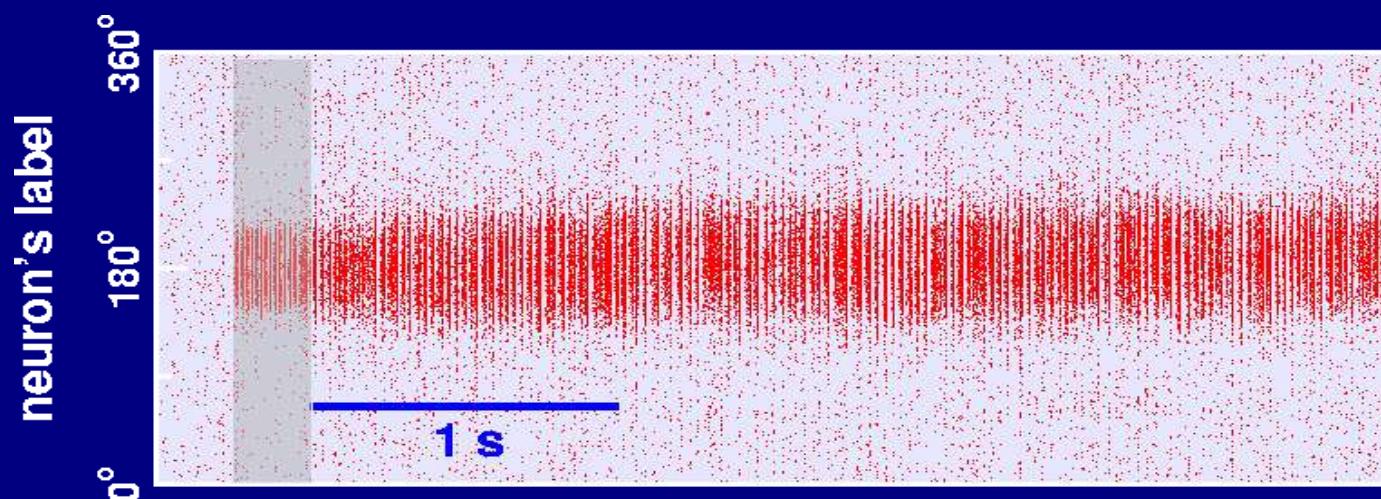
Simulación



Funahashi *et al.*, J. Neurophysiol. **61**:331 (1989)

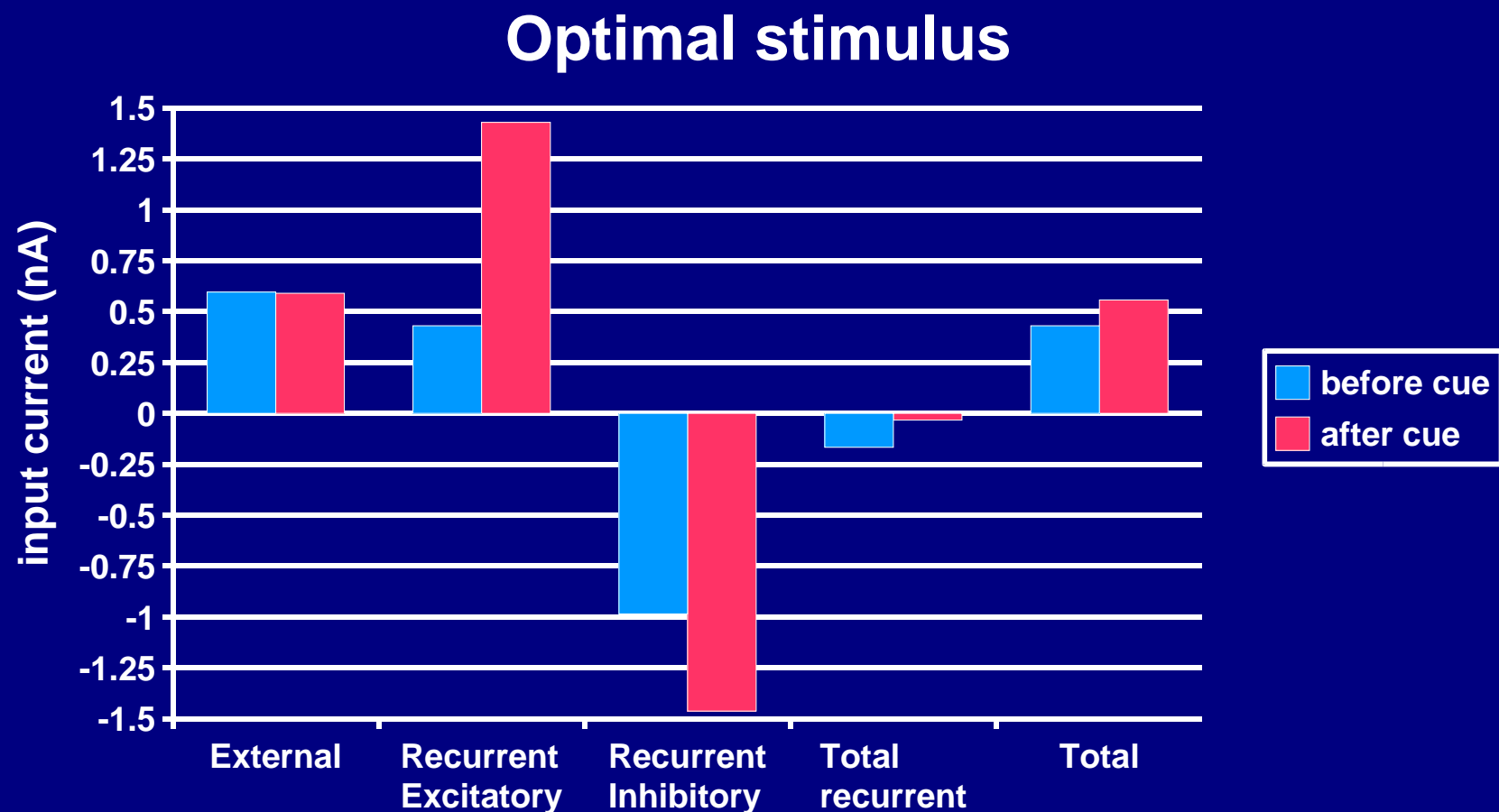
Mecanismos en el modelo

- Las sinapsis excitadoras de tipo NMDA con saturación y con cinética lenta estabilizan la actividad persistente a baja tasa de disparo



Mecanismos en el modelo

- La inhibición domina en las interacciones recurrentes para estabilizar la actividad espontánea



Estudiamos el modelo

- Plausibilidad biológica del mecanismo de reverberancia de red para la memoria de trabajo espacial con atractor continuo biestable con actividad espontánea
- La solución encontrada ¿es única? ¿es óptima? ¿es robusta?
- ¿Qué otros estados dinámicos puede generar la red?
- ¿Qué parámetros son especialmente críticos para la biestabilidad?

Reducción a un modelo simplificado

Simulación completa: $3 N_E + 3 N_I$ variables

Usamos la
aproximación
de difusión

Suponemos
disparo
asíncrono



Simulación de campo medio: $N_E + 1$ variables

Suponemos conectividad
 $W_{EE}(\Delta\theta) = 1 + J \cos \Delta\theta$



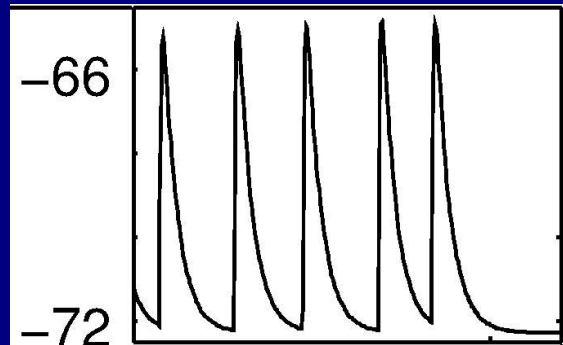
Sistema dinámico para componentes de Fourier: 3 variables

$$s_E(\theta) = \boxed{s_E^0} + \boxed{s_E^1} \cos \theta + \dots , \quad \boxed{s_I}$$

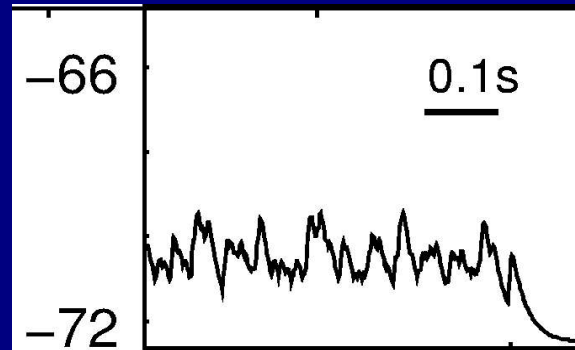
5 parámetros de conectividad libres: $G_{EE}, J, G_{EI}, G_{IE}, G_{II}$

Modelo de campo medio

disparo síncrono:



disparo asíncrono:



lo aproximamos por media + desviación estándar x ruido blanco Gaussiano

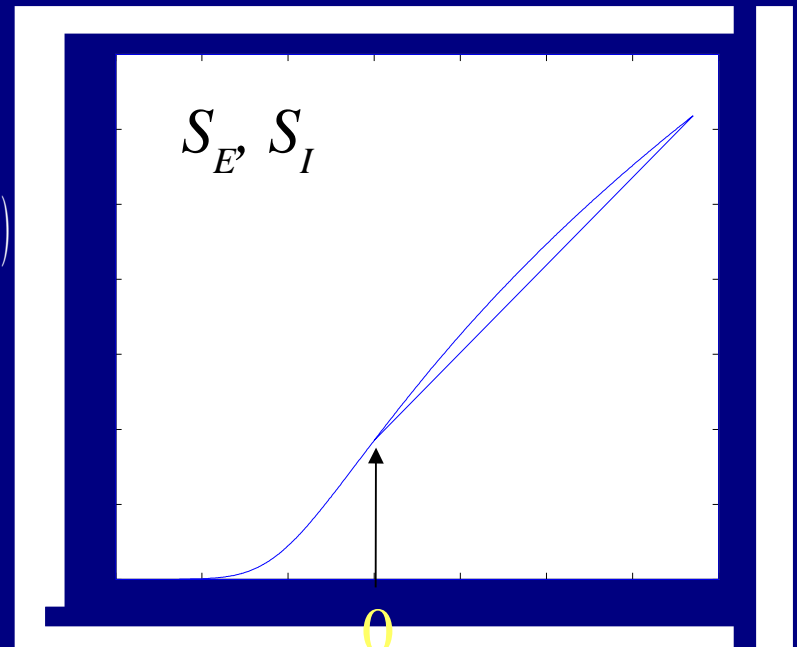
$$r = \frac{1}{\text{ref} + \int_{\langle I \rangle, -}^{\langle I \rangle, +} du \sqrt{\dots} \exp(u^2)[1 + \text{erf}(u)]}$$

(Ricciardi 1977, Brunel and Sergi J. Theor Biol 1998)

$$\begin{aligned} m \frac{dV}{dt} &= -V + \langle I \rangle + \sqrt{\dots} \\ r &= 1 / \left(\text{tiempo de 1 rpas por } V_{th} \right) \end{aligned}$$

Modelo de campo medio

$$E \frac{\partial s_E(t)}{\partial t} = -s_E(t) + S_E(I_E(t))$$
$$I \frac{ds_I(t)}{dt} = -s_I(t) + S_I(I_I(t))$$



$$I_E(t) = \frac{G_{EE}}{2} \int W_{EE}(t - \tau) s_E(\tau) d\tau - G_{IE} s_I(t)$$

$$I_I(t) = \frac{G_{EI}}{2} \int s_E(t - \tau) d\tau - G_{II} s_I(t)$$

tomamos:

$$W_{EE} \left(\quad , t \right) = 1 + J \cos \left(\quad \right)$$

$$s_E \left(\quad , t \right) = \tilde{s}_E^0(t) + \tilde{s}_E^1(t) \cos \quad + \tilde{s}_E^2(t) \cos 2 \quad + \dots$$

y lo reducimos a un sistema dinámico de 3 ecs.

$$\left\{ \begin{array}{l} \tilde{s}_E^0 \\ \tilde{s}_E^1 \\ \tilde{s}_I^0 \end{array} \right. \begin{array}{l} \frac{d\tilde{s}_E^0}{dt} = -\tilde{s}_E^0 + \frac{1}{2} \int S_E \left(I_E \left(\quad , t \right) \right) d \\ \frac{d\tilde{s}_E^1}{dt} = -\tilde{s}_E^1 + \frac{1}{2} \int S_E \left(I_E \left(\quad , t \right) \right) \cos d \\ \frac{d\tilde{s}_I^0}{dt} = -\tilde{s}_I^0 + S_I \left(I_I \left(t \right) \right) \end{array}$$

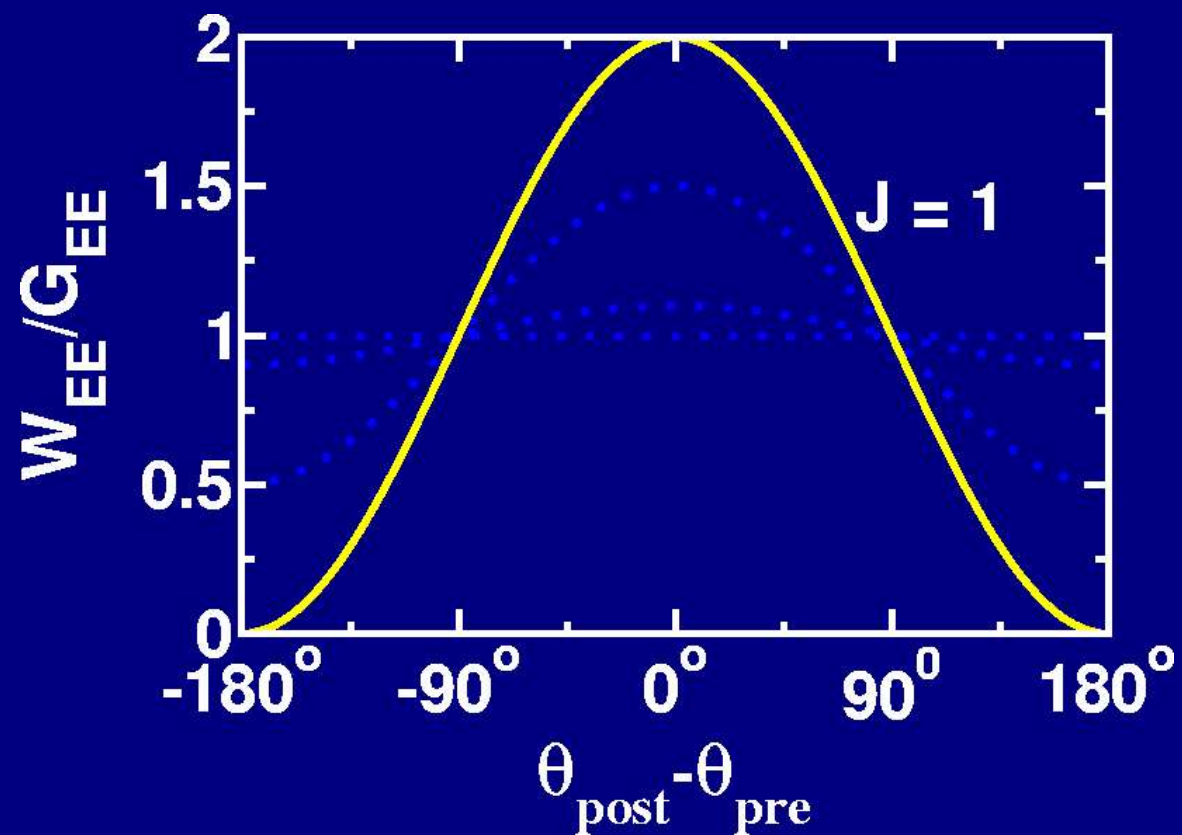
$$\text{con } I_E \left(\quad , t \right) = G_{EE} \tilde{s}_E^0(t) + \frac{1}{2} J G_{EE} \tilde{s}_E^1(t) \cos \quad - G_{IE} \tilde{s}_I^0(t)$$

$$I_I(t) = G_{EI} \tilde{s}_E^0(t) - G_{II} \tilde{s}_I^0(t)$$

parámetros del sistema: $J, G_{EE}, G_{EI}, G_{IE}, G_{II}$

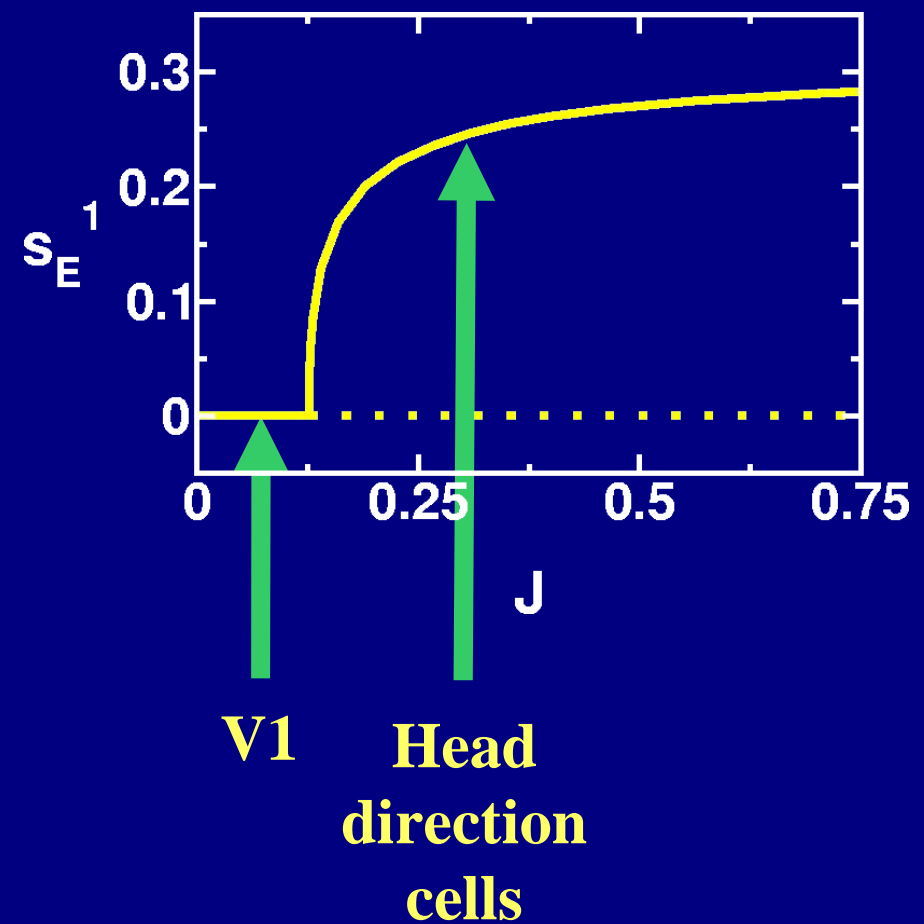
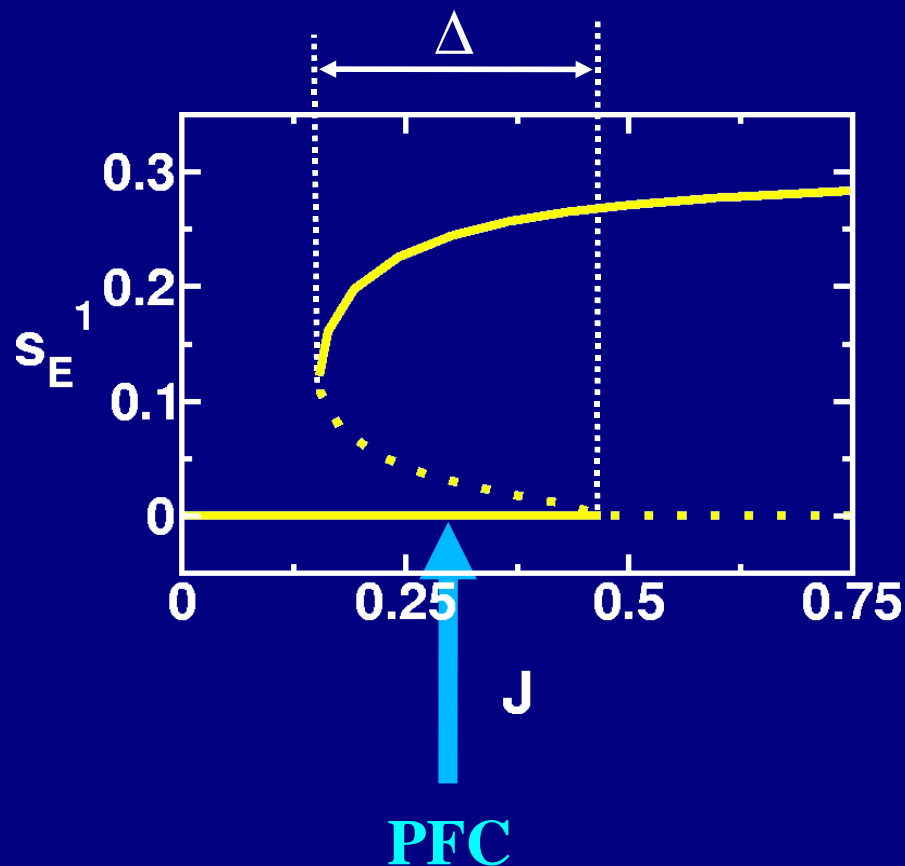
Bistability

$$W_{EE}(\theta_{post} - \theta_{pre}) = 1 + J \cos(\theta_{post} - \theta_{pre})$$



Bistability

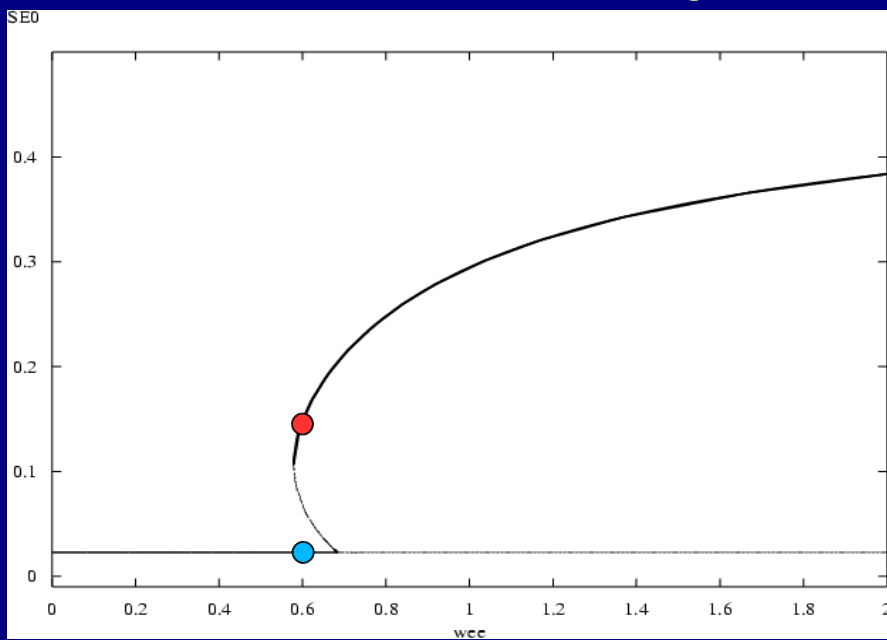
$$W_{EE}(\theta_{post} - \theta_{pre}) = 1 + \mathbf{J} \cos(\theta_{post} - \theta_{pre})$$



J

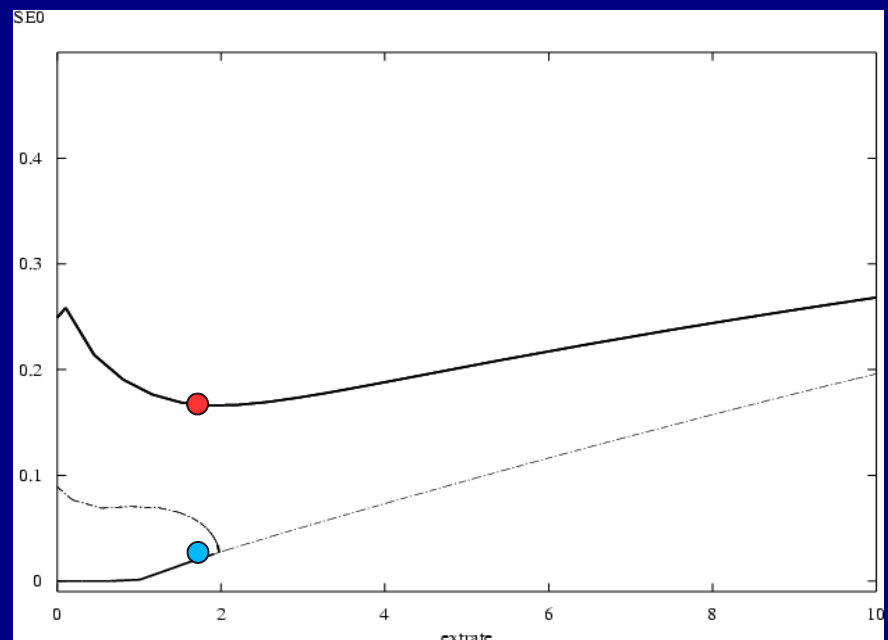
rango 14%

\tilde{s}_E^0

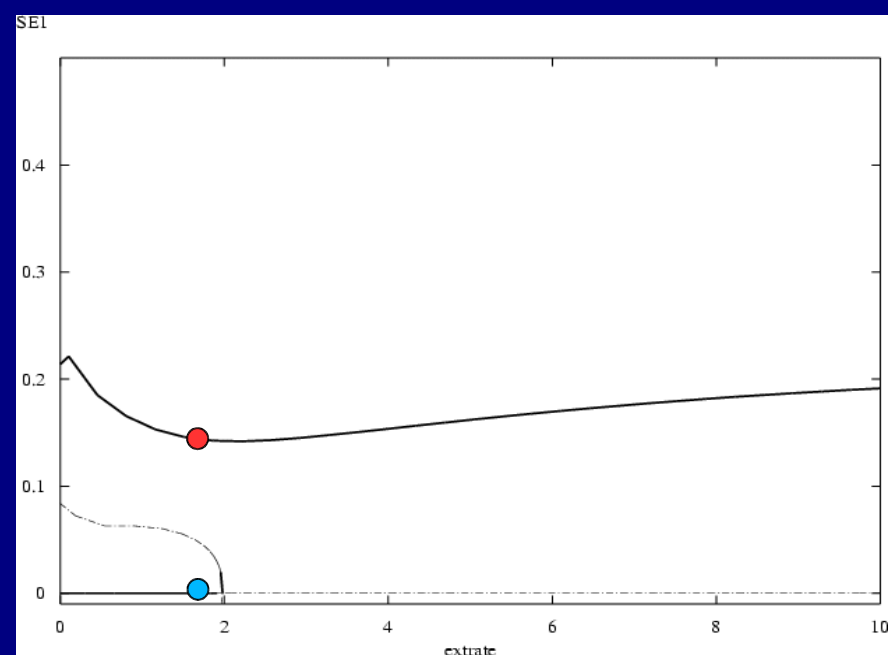
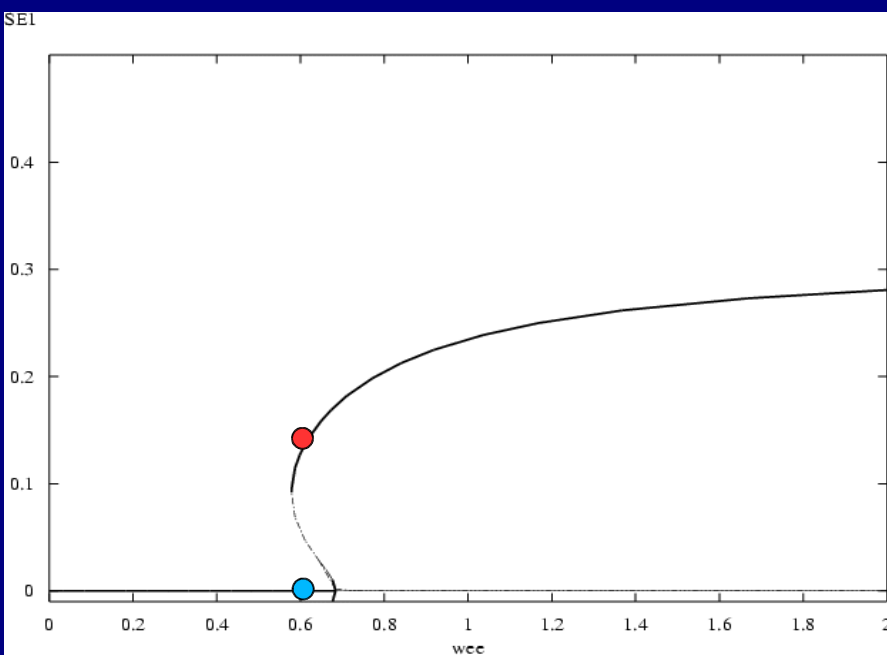


rate externo

rango 200%

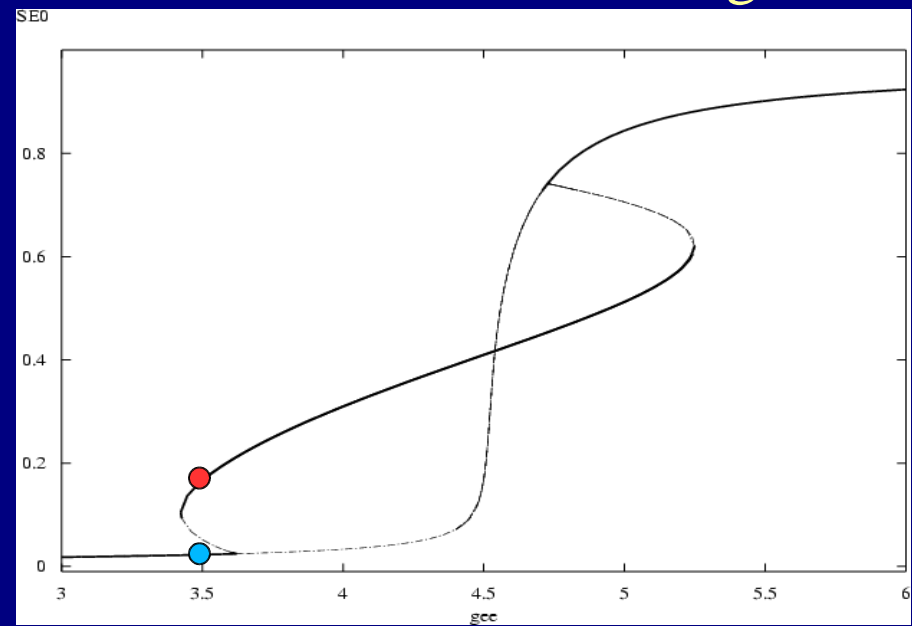


\tilde{s}_E^1

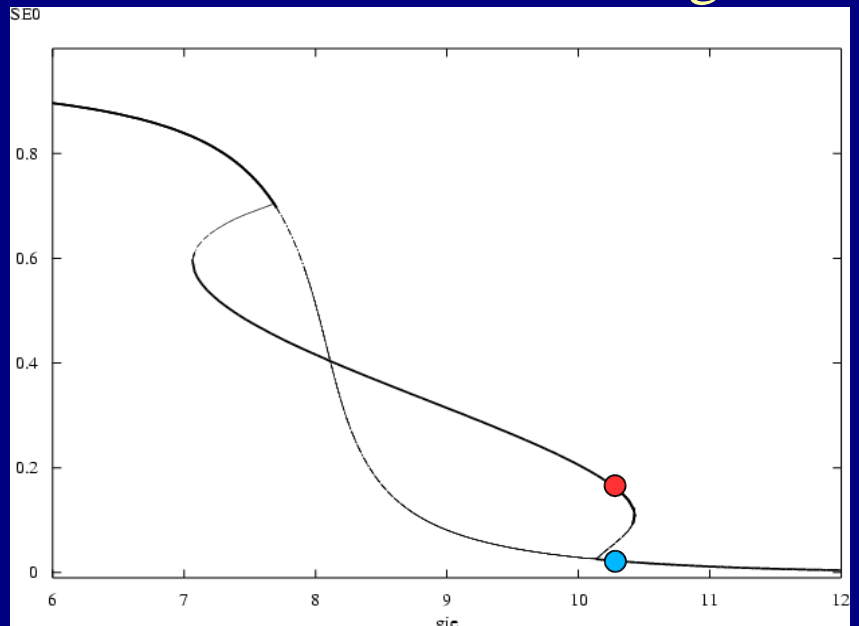
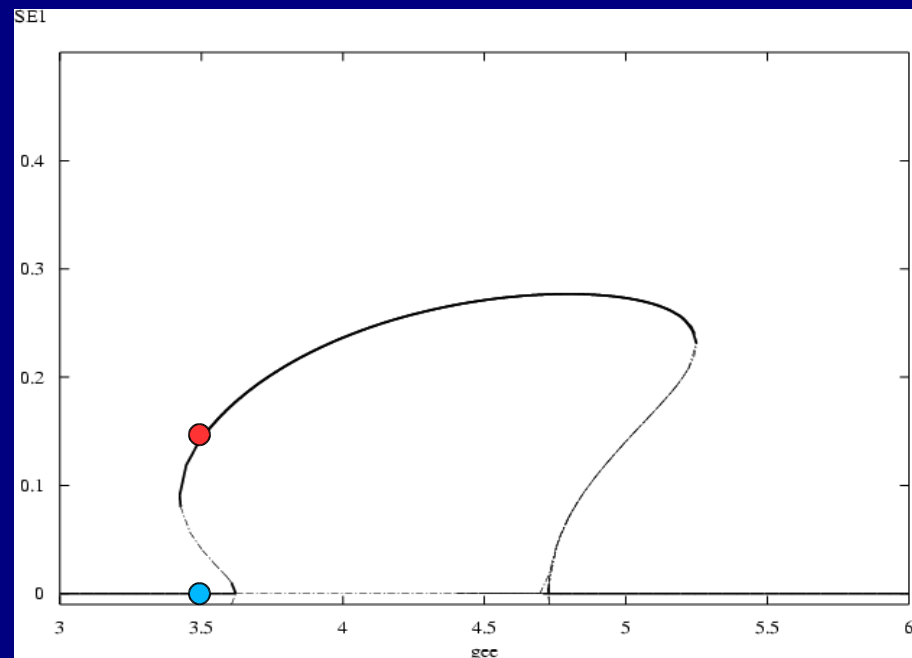
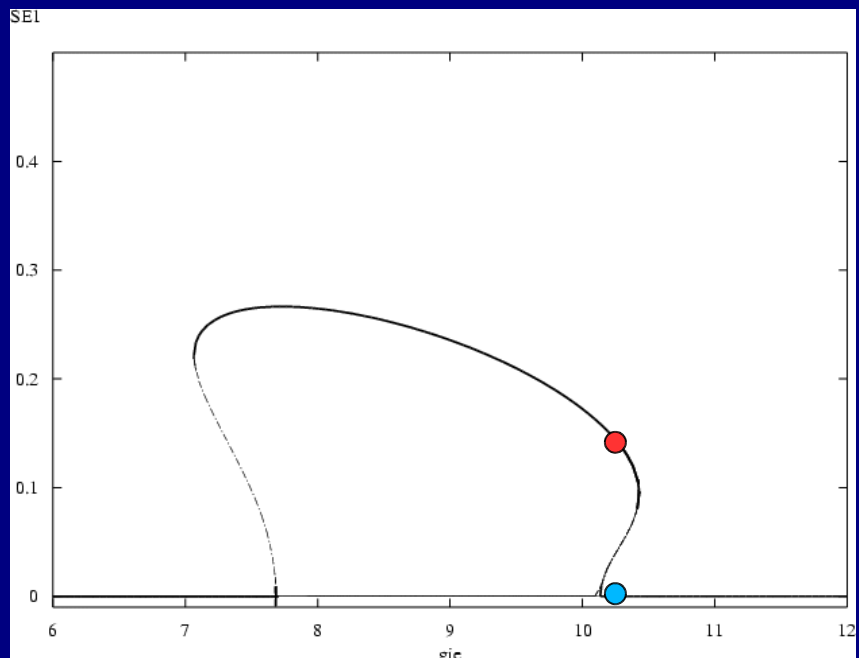


G_{EE}

rango 7%

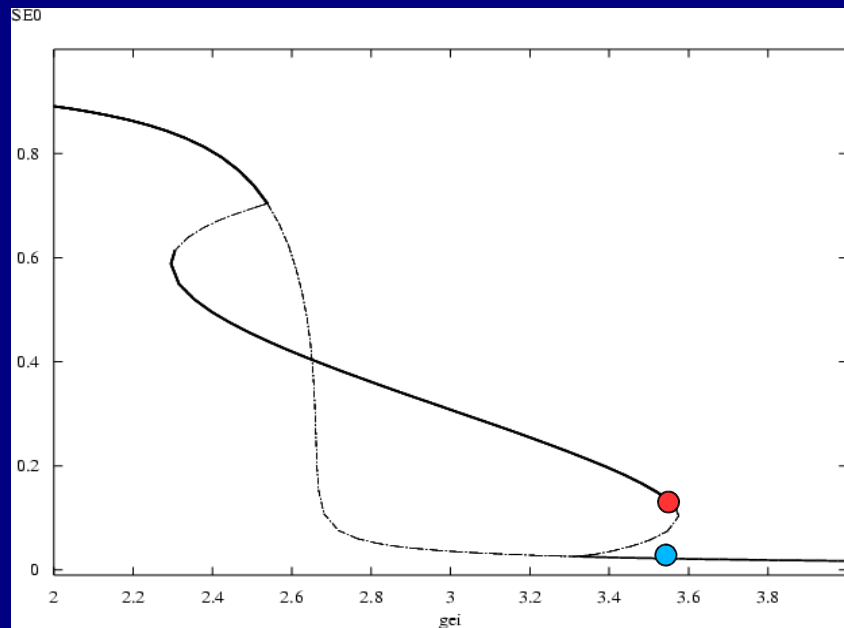
 G_{IE}

rango 2%

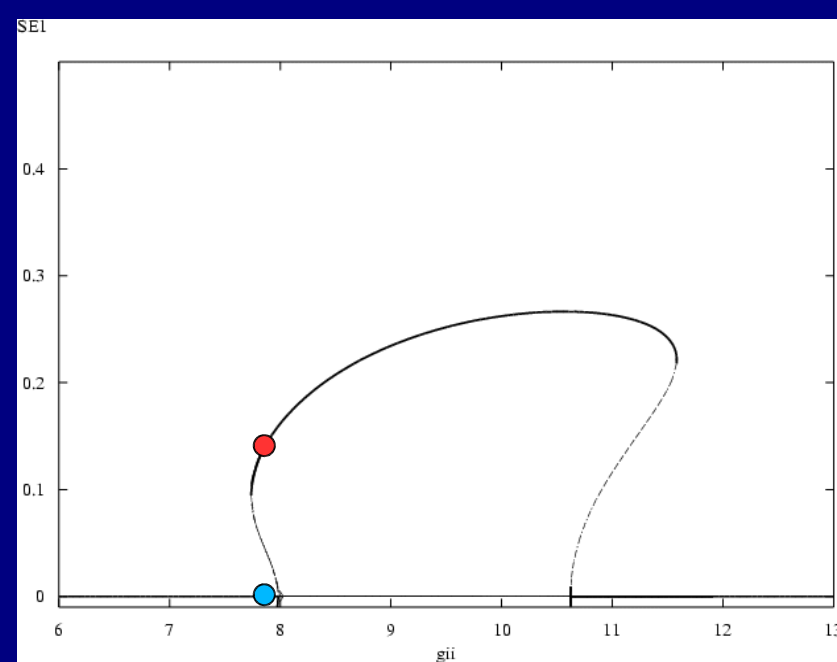
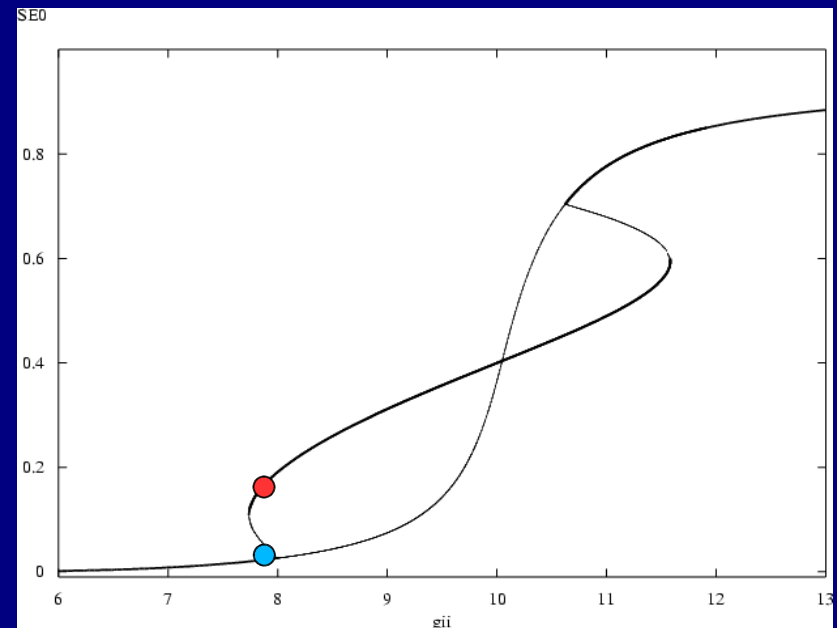
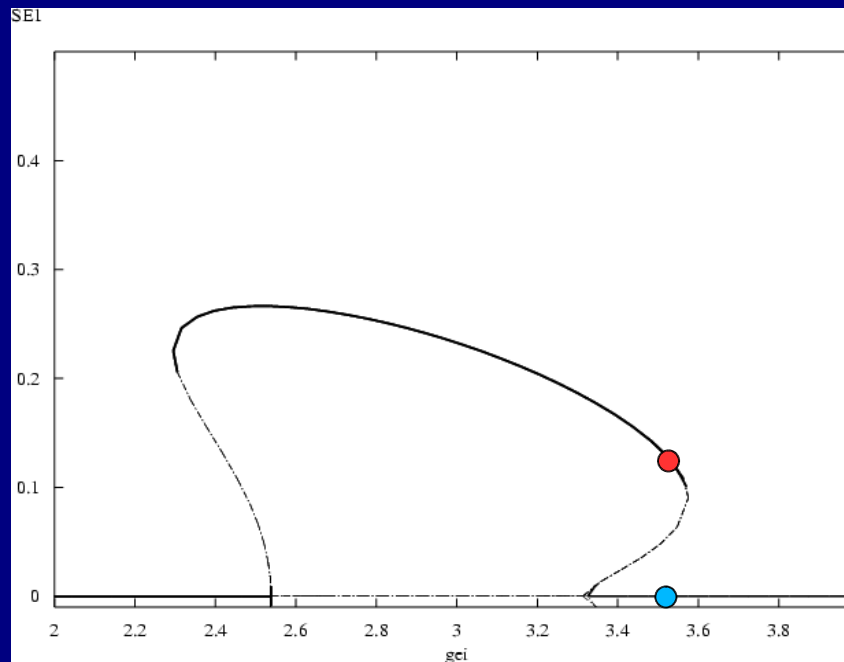
 \tilde{s}_E^0  \tilde{s}_E^1 

G_{EI}

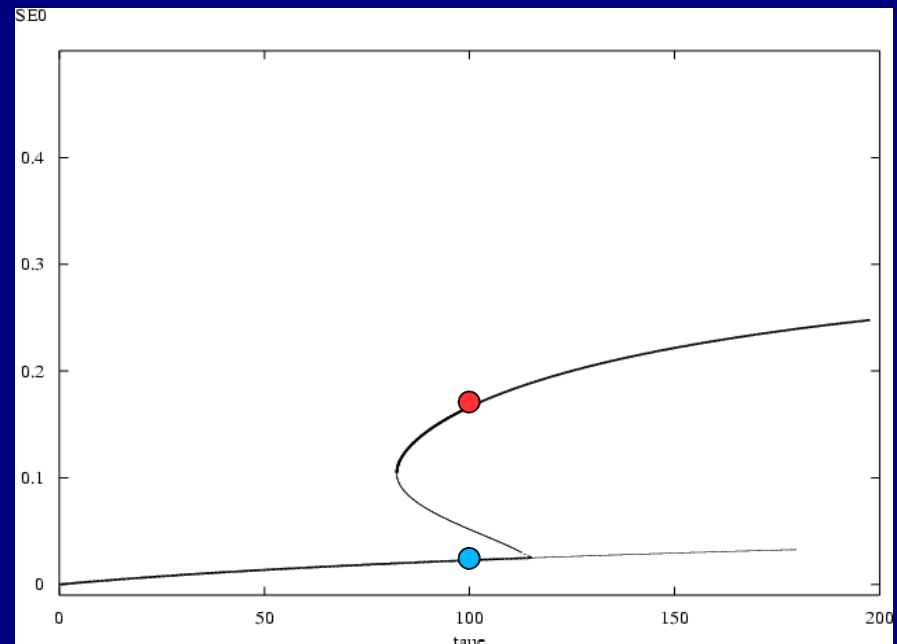
rango 7%

 \tilde{s}_E^0  G_{II}

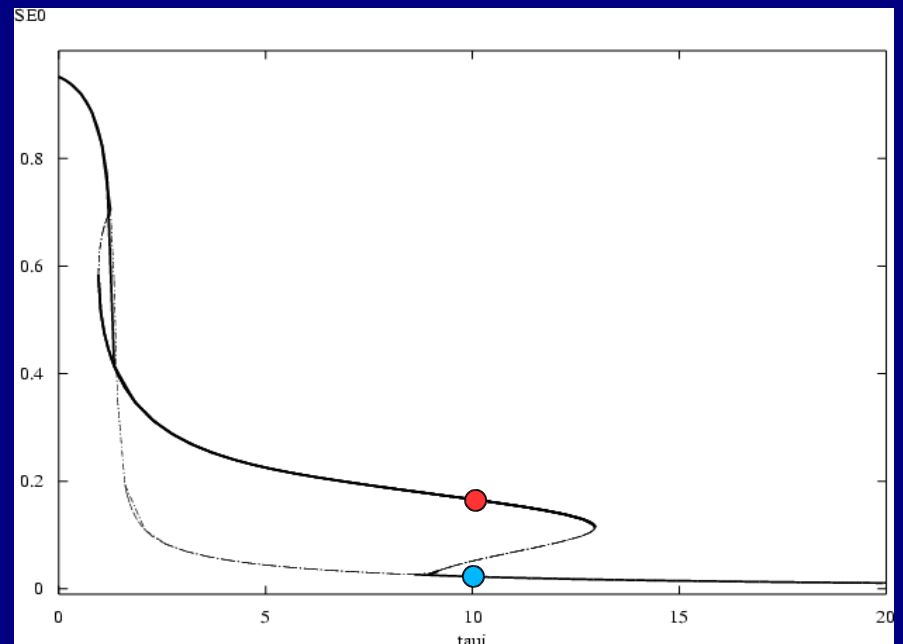
rango 4%

 \tilde{s}_E^1 

τ_E
rango 36%

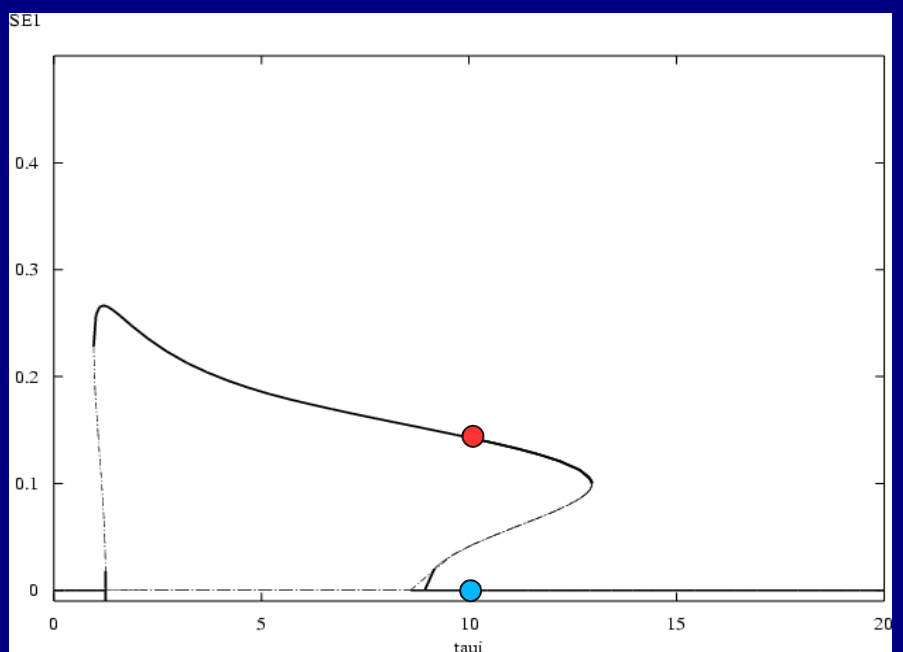
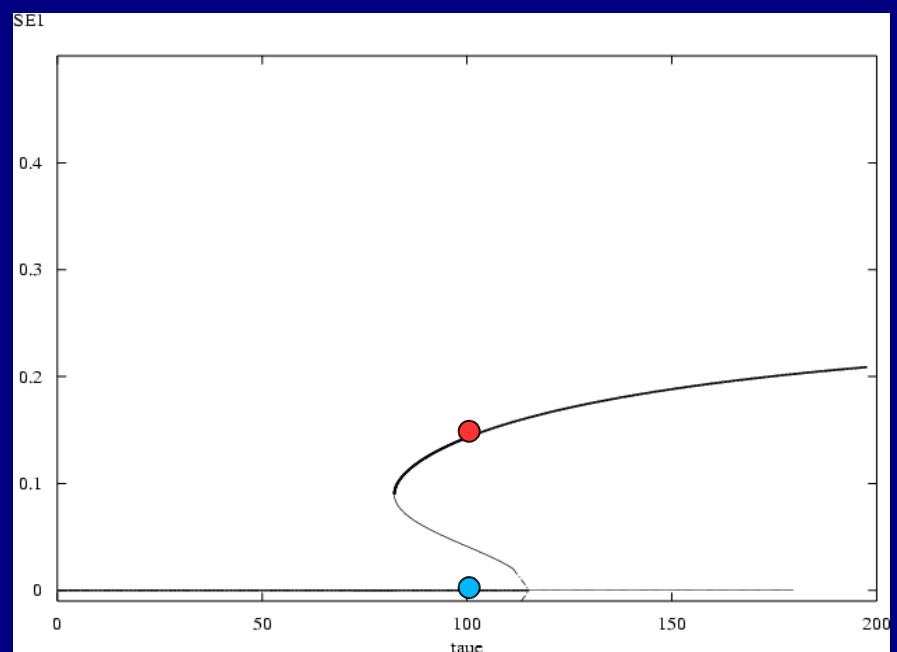


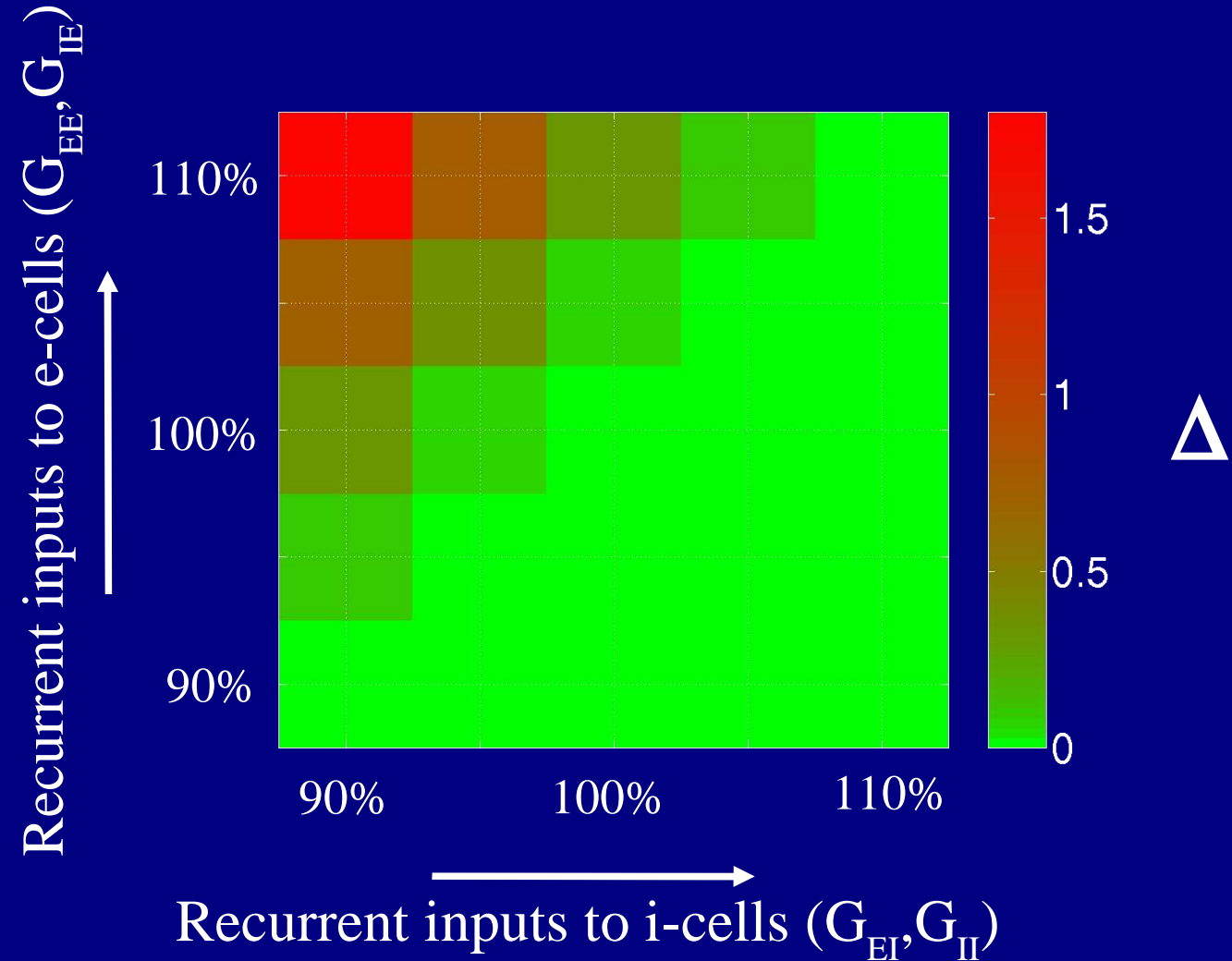
τ_I
rango 42%

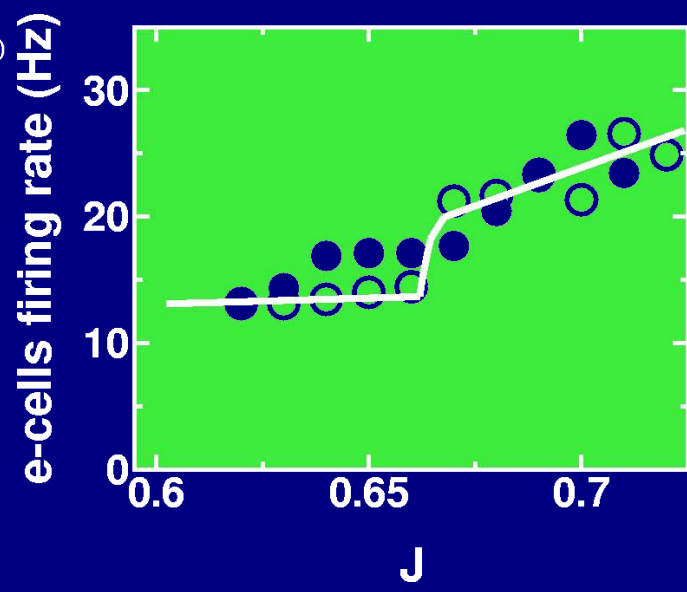
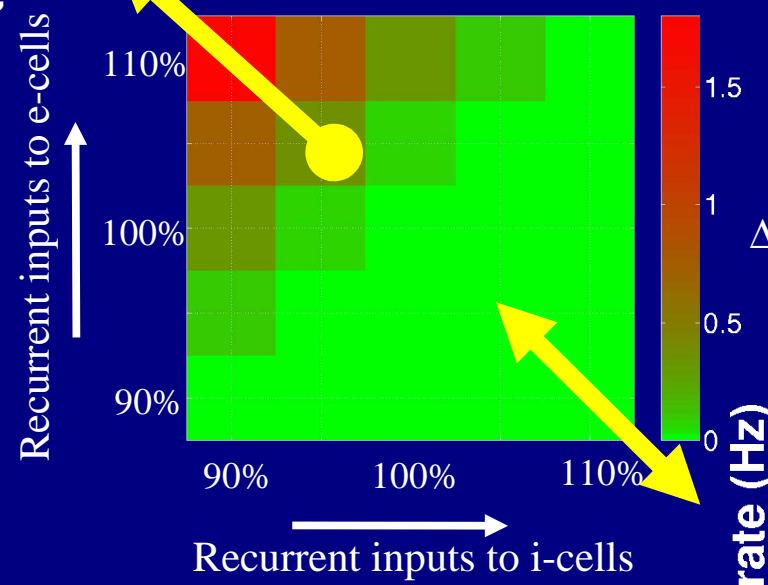
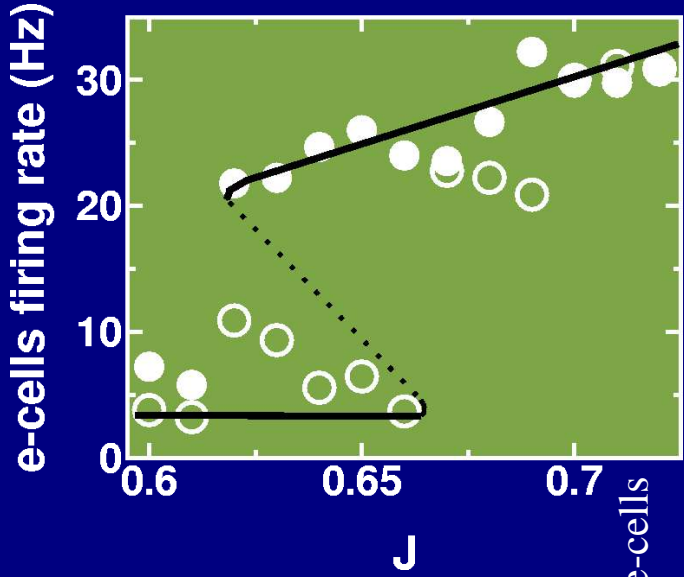


\tilde{S}_E^0

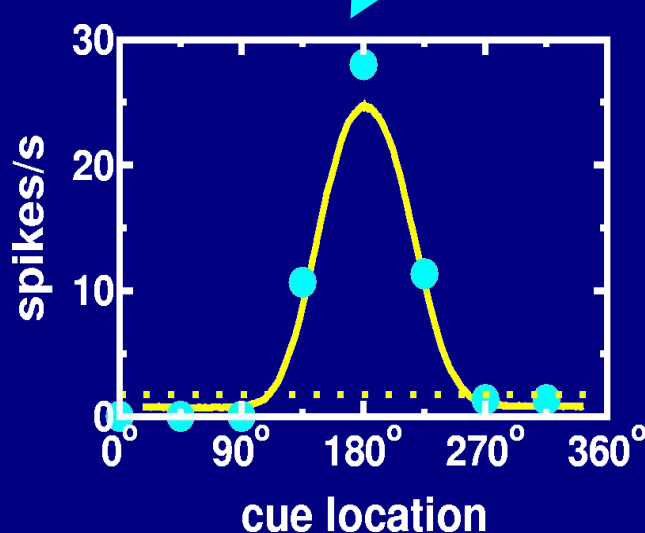
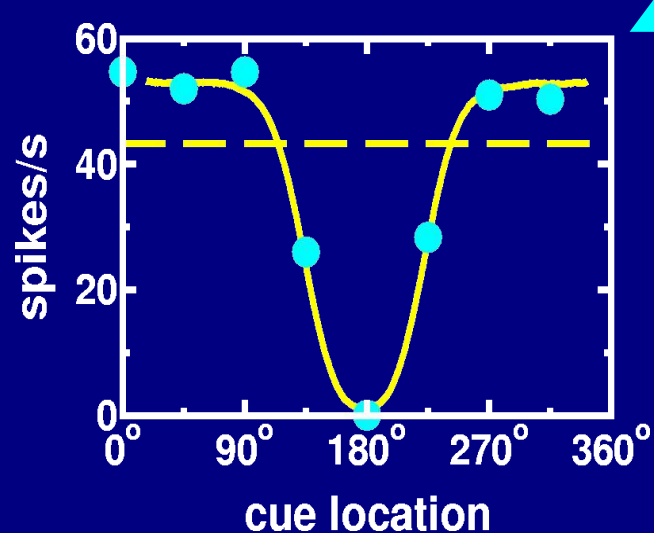
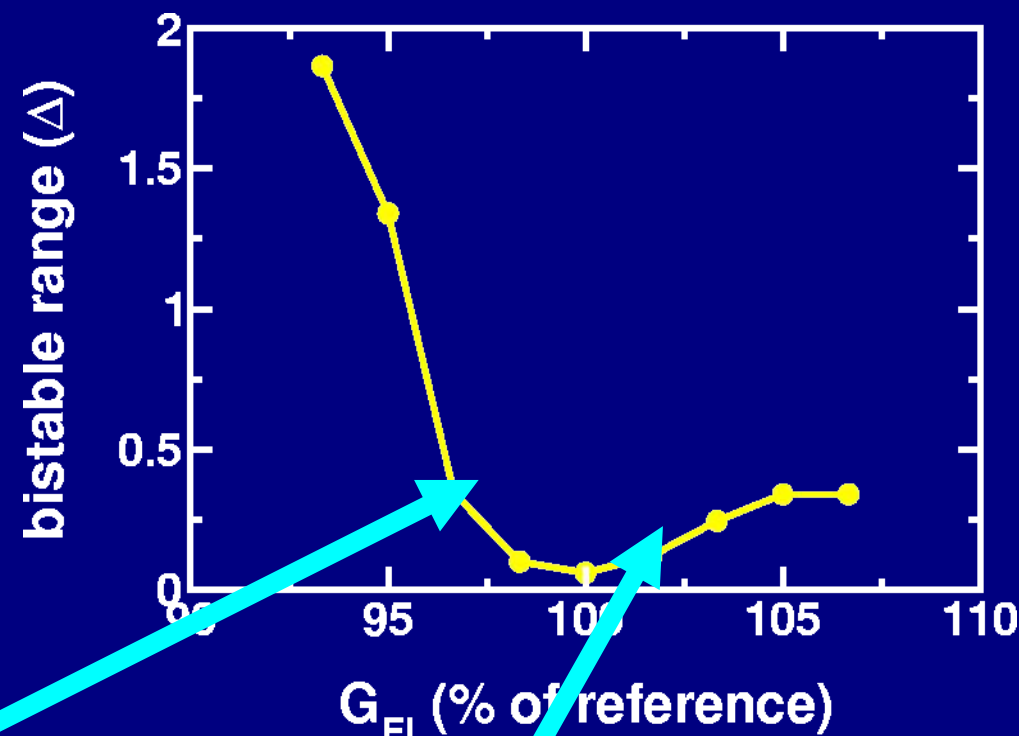
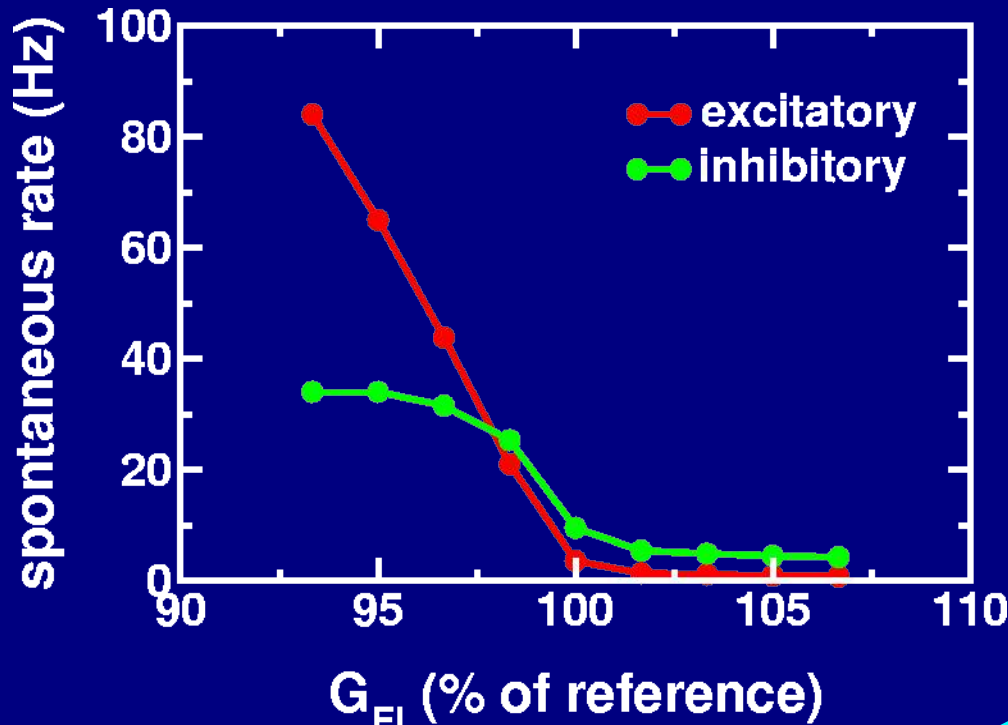
\tilde{S}_E^1



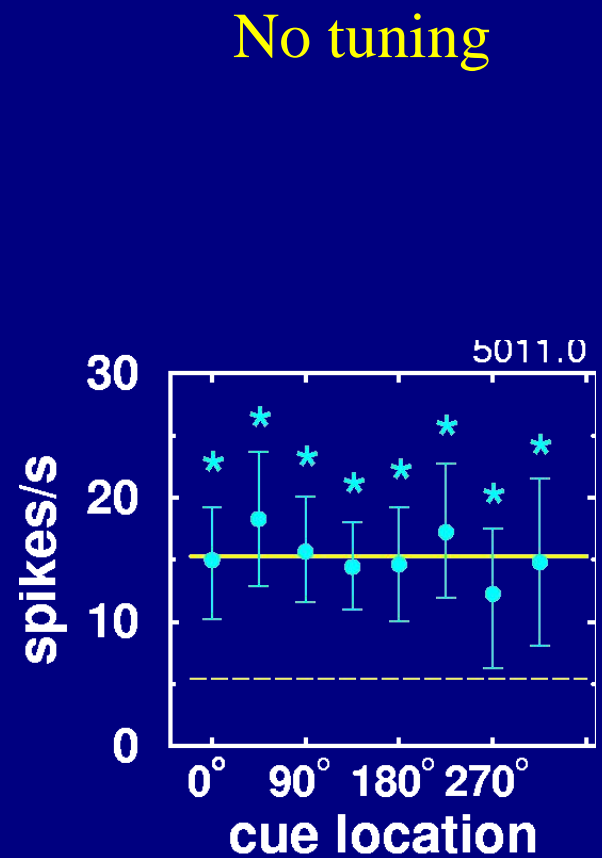
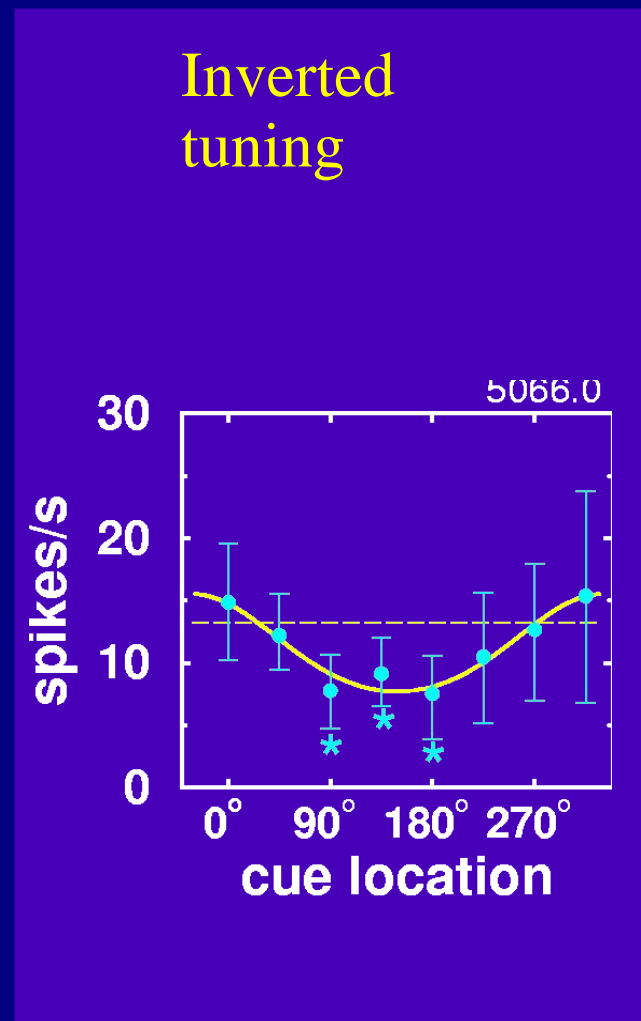
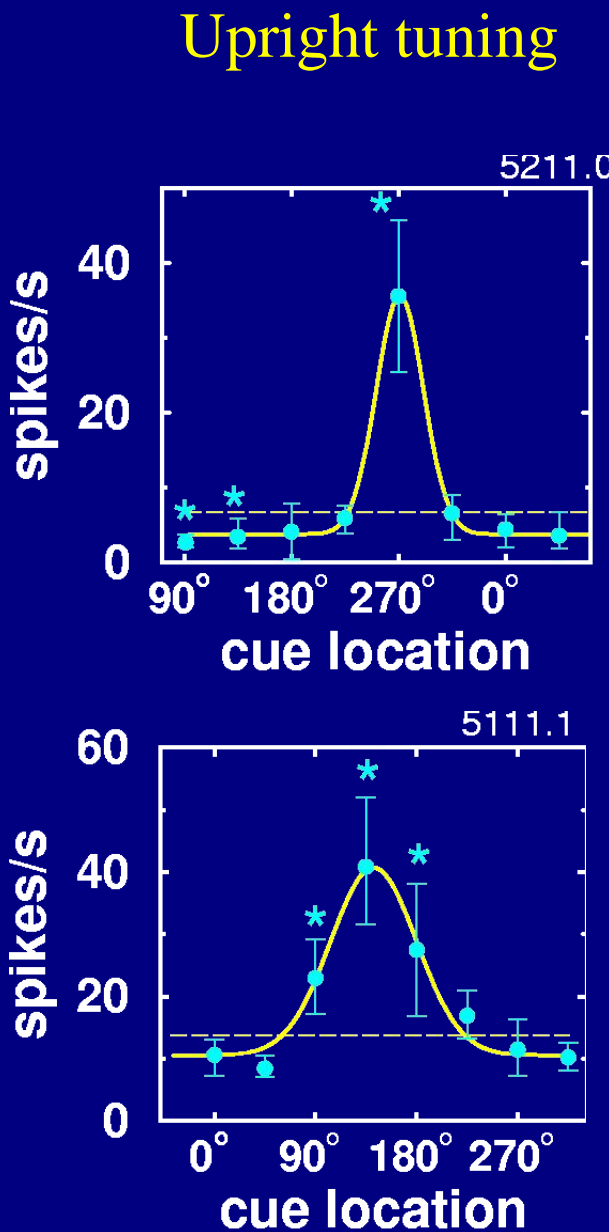




Inhibition

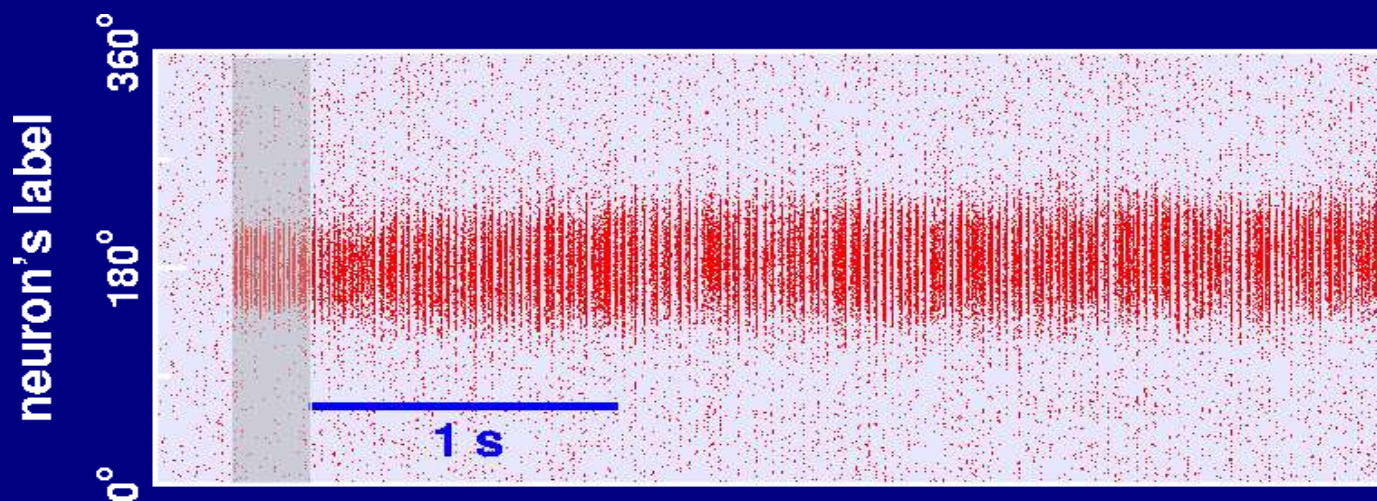


Data from Funahashi et al. J. Neurophysiol. 61:331 (1989)



Mechanisms for model function

- Slow-decaying, saturating excitatory synapses (NMDA) stabilize low-rate persistent state



SIMULACIÓN DINÁMICA

Las neuronas:

$$\frac{dV_i^{E,I}}{dt} = -V_i^{E,I} + I_i^{E,I}(t)$$

$N_E + N_I$ ecs.

$$\text{si } V_i^{E,I}(t) \geq V_{th} \Rightarrow V_i^{E,I}(t+) = 0$$

Las conexiones:

$$I_i^{E,I}(t) = g_E^{E,I} (70 - V_i^{E,I}(t)) \sum_j W_E^{E,I}(i-j) s_j^E(t) - \dots$$

$$g_I^{E,I} V_i^{E,I}(t) \sum_j W_I^{E,I}(i-j) s_j^I(t) + I_{ext,i}^{E,I}(t)$$

Excitación externa:

$$I_{ext,i}^{E,I}(t) = g_{ext}^{E,I} (70 - V_i^{E,I}(t)) s_{ext,i}^{E,I}(t)$$

Las sinapsis:

$2N_E + 2N_I$ ecs.

$$\frac{ds_i^E}{dt} = \left(1 - s_i^E\right) \sum_j \left(t - [T_i^E]_j \right) - \frac{s_i^E}{E}$$

$$\frac{ds_i^I}{dt} = \sum_j \left(t - [T_i^I]_j \right) - \frac{s_i^I}{I}$$

$$\frac{ds_{ext,i}^{E,I}}{dt} = \sum_j \left(t - [T_{ext,i}^{E,I}]_j \right) - \frac{s_{ext,i}^{E,I}}{ext}$$

CAMPO MEDIO

Las neuronas:

$$m \frac{dV_i^{E,I}}{dt} = -V_i^{E,I} + \langle I_i^{E,I} \rangle + r_i^{E,I} \quad (t)$$

$$r_i^{E,I} = 1 / \text{tiempo de primer paso por } V_{th}$$

Las conexiones:

$$\langle I_i^E \rangle = g_{EE} (70 - V_i^E) \sum_j W(i-j) \langle s_j^E \rangle - \dots$$

$$g_{IE} V_i^E \langle s^I \rangle + \langle I_{ext}^E \rangle$$

$$\langle I^I \rangle = g_{EI} (70 - V^I) \frac{1}{N_E} \sum_j \langle s_j^E \rangle - \dots$$

$$g_{II} V^I \langle s^I \rangle + \langle I_{ext}^I \rangle$$

Excitación externa:

$$\langle I_{ext}^{E,I} \rangle = g_{ext}^{E,I} (70 - V_i^{E,I}) \langle s_{ext}^{E,I} \rangle$$

Las sinapsis:

$$\frac{d\langle s_i^E \rangle}{dt} = \left(1 - \langle s_i^E \rangle\right) \left\langle \sum_j \delta\left(t - \left\langle T_i^E \right\rangle_j\right) - \frac{\langle s_i^E \rangle}{E} \right\rangle$$

$$\frac{d\langle s^I \rangle}{dt} = \left\langle \sum_j \delta\left(t - \left\langle T_i^I \right\rangle_j\right) - \frac{\langle s^I \rangle}{I} \right\rangle$$

$$\frac{d\langle s_{ext}^{E,I} \rangle}{dt} = \left\langle \sum_j \delta\left(t - \left\langle T_{ext,i}^{E,I} \right\rangle_j\right) - \frac{\langle s_{ext}^{E,I} \rangle}{ext} \right\rangle$$

CAMPO MEDIO

Las neuronas:

$$\frac{dV_i^{E,I}}{dt} = -V_i^{E,I} + I_i^{E,I}$$

$$r_i^{E,I} = 1 / \text{tiempo de primer paso por } V_{th}$$

Las conexiones:

$$I_i^E = g_{EE} \left(70 - \langle V_i^E \rangle \right) \sum_j W(i-j) \langle s_j^E \rangle - \dots \\ g_{IE} \langle V_i^E \rangle \langle s_j^I \rangle + I_{ext}^E$$

$$I^I = g_{EI} \left(70 - \langle V^I \rangle \right) \frac{1}{N_E} \sum_j \langle s_j^E \rangle - \dots \\ g_{II} \langle V^I \rangle \langle s_j^I \rangle + I_{ext}^I$$

Excitación externa:

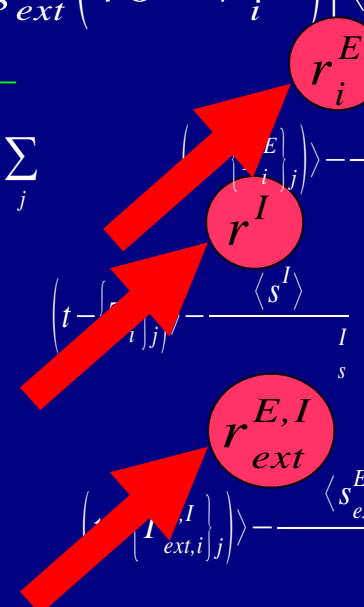
$$I_{ext}^{E,I}(t) = g_{ext}^{E,I} \left(70 - V_i^{E,I} \right) \left[\langle s_{ext}^{E,I} \rangle + r_{ext}^{E,I}(t) \right]$$

Las sinapsis:

$$\frac{d\langle s_i^E \rangle}{dt} = \left(1 - \langle s_i^E \rangle \right) \left(\sum_j \langle s_{i,j}^E \rangle \right) - \frac{\langle s_i^E \rangle}{r_i^E}$$

$$\frac{d\langle s_i^I \rangle}{dt} = \left(\sum_j \langle s_{i,j}^I \rangle \right) - \frac{\langle s_i^I \rangle}{r_i^I}$$

$$\frac{d\langle s_{ext}^{E,I} \rangle}{dt} = \left(\sum_j \langle s_{ext,i,j}^{E,I} \rangle \right) - \frac{\langle s_{ext}^{E,I} \rangle}{r_{ext}^{E,I}}$$



Estado estacionario:

$$\langle s_i^E \rangle_\infty = \frac{r_i^E}{1 + \frac{r_i^E}{s}}$$

$$\langle s_i^I \rangle_\infty = \frac{r_i^I}{s}$$

$$\langle s_{ext}^{E,I} \rangle_\infty = \frac{r_{ext}^{E,I}}{1 + \frac{r_{ext}^{E,I}}{s}}$$

$$s = \sqrt{r_{ext}^{E,I}}$$

CAMPO MEDIO

Las neuronas:

$$r_i^{E,I} = - \frac{1}{\int_{I^{E,I}, E,I}^{\left(I^{E,I}, E,I \right)} du \sqrt{\dots} \exp(u^2) [1 + \operatorname{erf}(u)]}$$

(Ricciardi 1977, Brunel and Sergi J. Theor Biol 1998)

Las conexiones:

$$I_i^E = G_{EE} \sum_j W(i-j) \langle s_j^E \rangle - G_{IE} \langle s^I \rangle + G_{ext}^E \langle s_{ext}^E \rangle$$

$$I_i^I = G_{EI} \frac{1}{N_E} \sum_j \langle s_j^E \rangle - G_{II} \langle s^I \rangle + G_{ext}^I \langle s_{ext}^I \rangle$$

$$G_{ext}^{E,I} = \sqrt{r_{ext}^{E,I}}$$

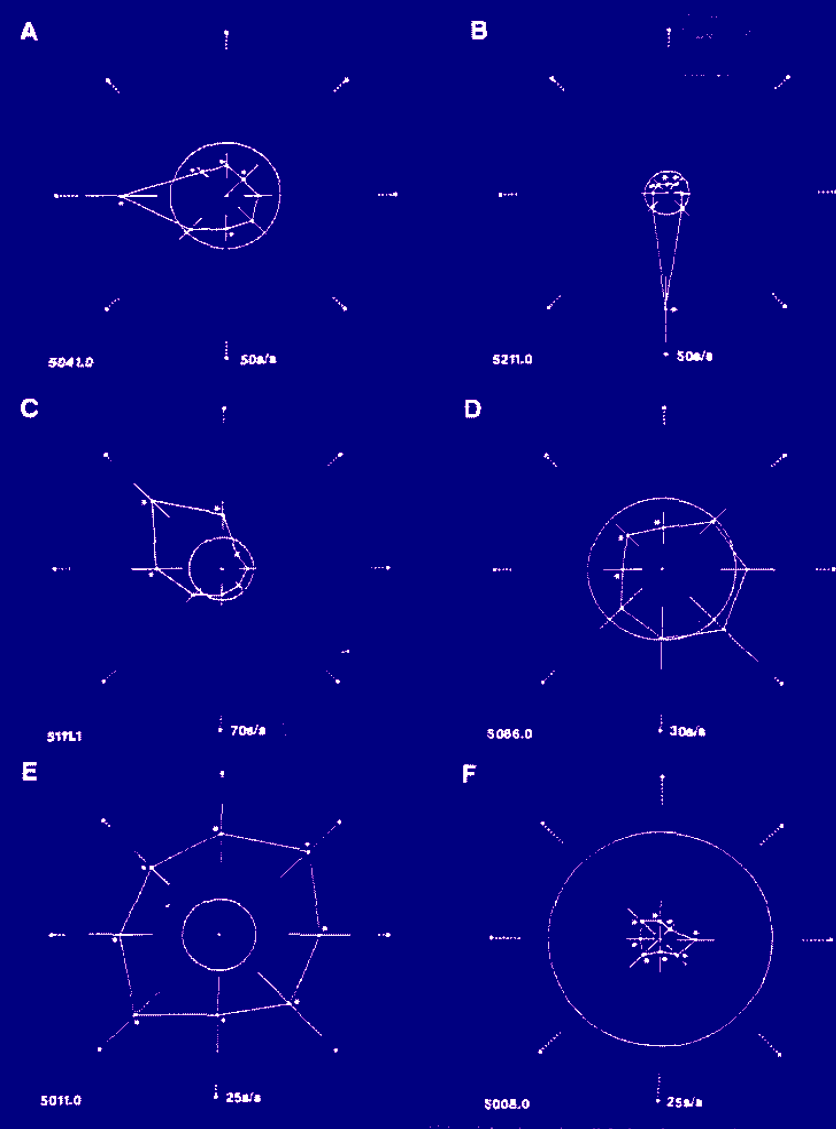
Las sinapsis:
 $N_E + 1$ ecs.

$$\frac{d \langle s_i^E \rangle}{dt} = \frac{\langle s_i^E \rangle_\infty - \langle s_i^E \rangle}{\frac{E}{s}}$$

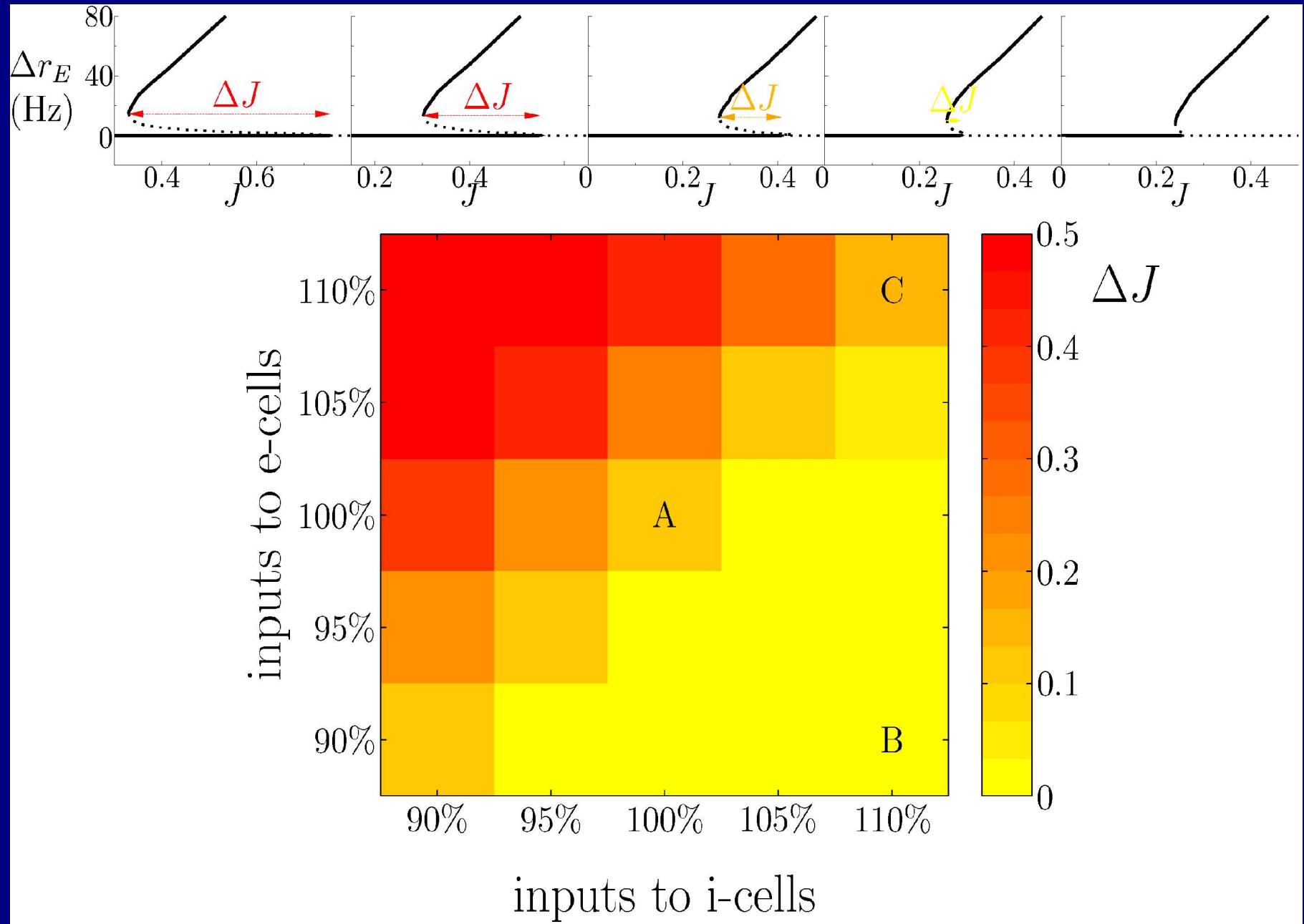
$$\langle s_i^E \rangle_\infty = \frac{\frac{E}{s} r_i^E}{\left(1 + \frac{E}{s} r_i^E \right)}$$

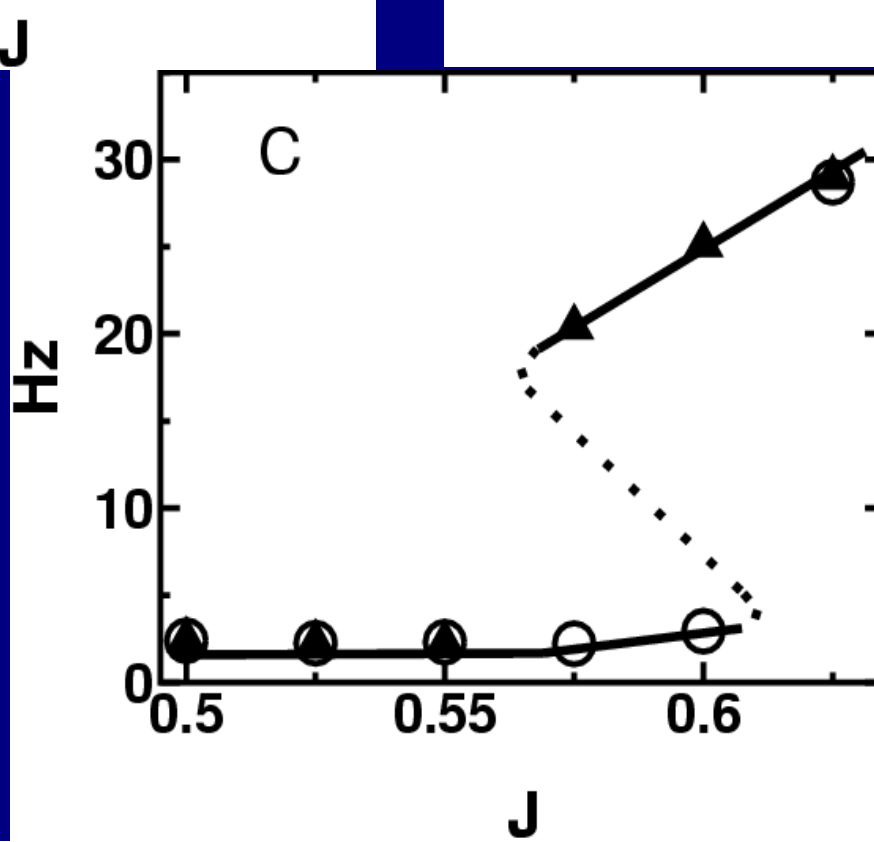
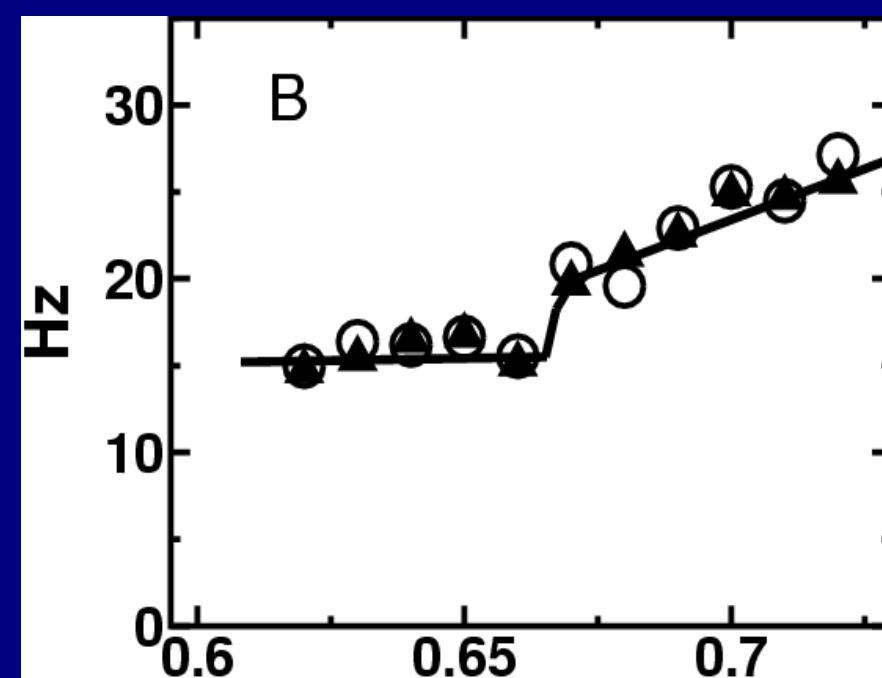
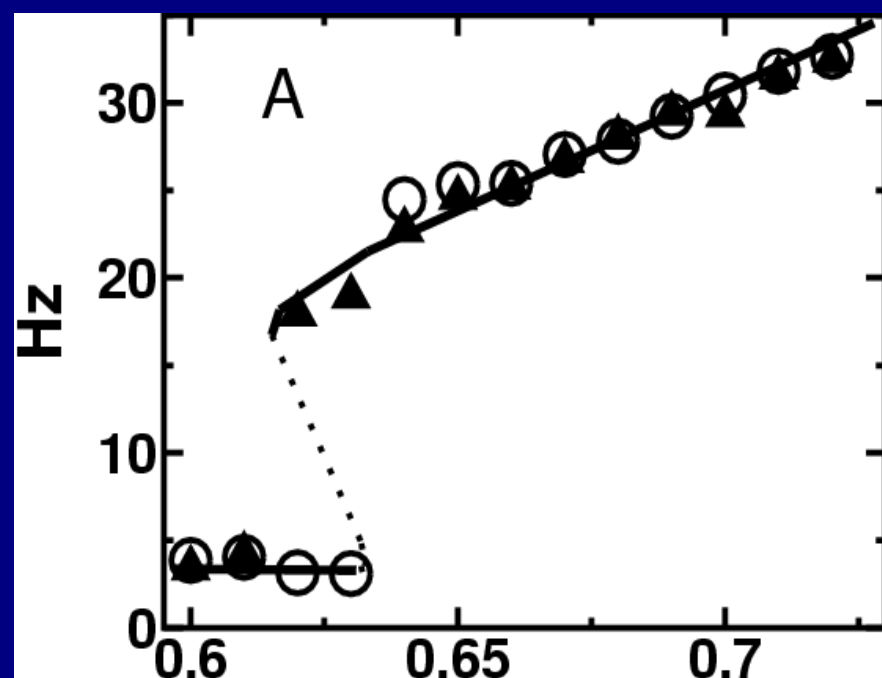
$$\frac{d \langle s_i^I \rangle}{dt} = \frac{\langle s_i^I \rangle_\infty - \langle s_i^I \rangle}{\frac{I}{s}}$$

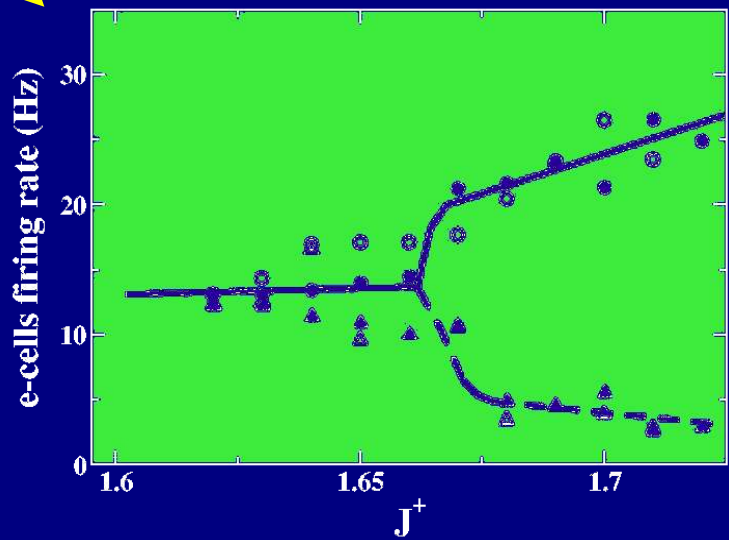
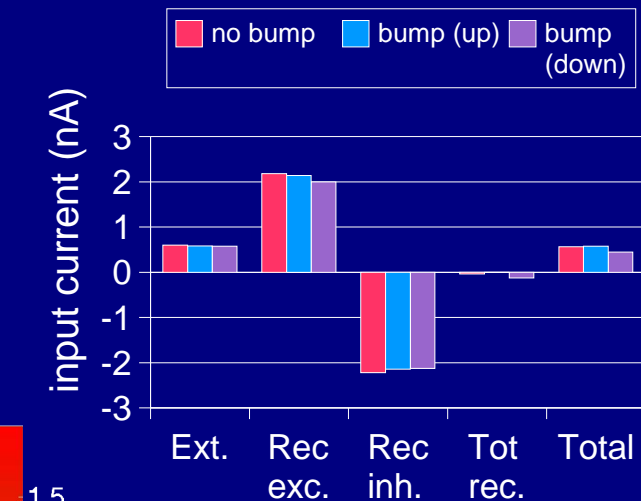
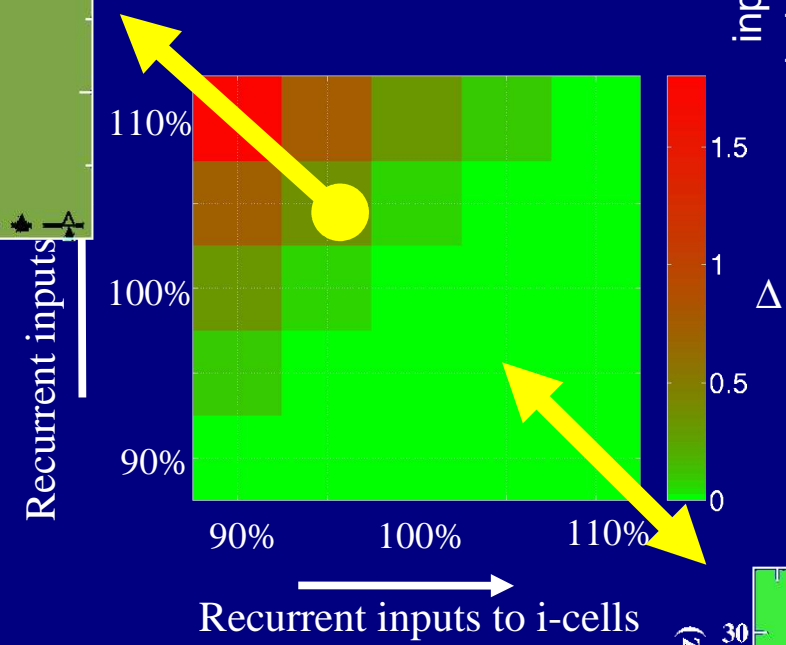
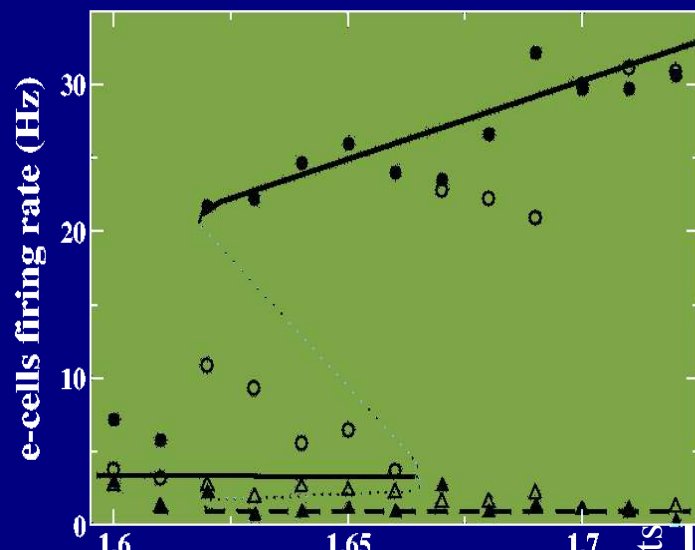
$$\langle s_i^I \rangle_\infty = \frac{I}{s} r_i^I$$



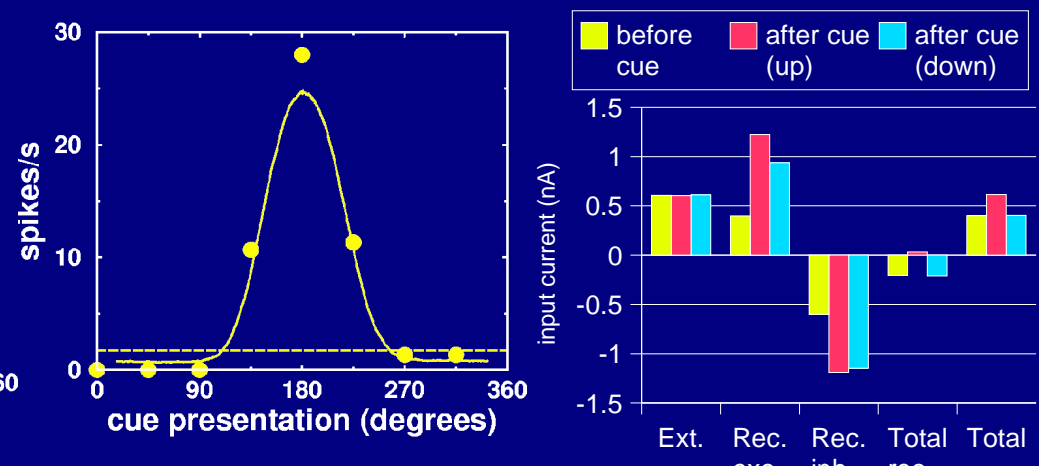
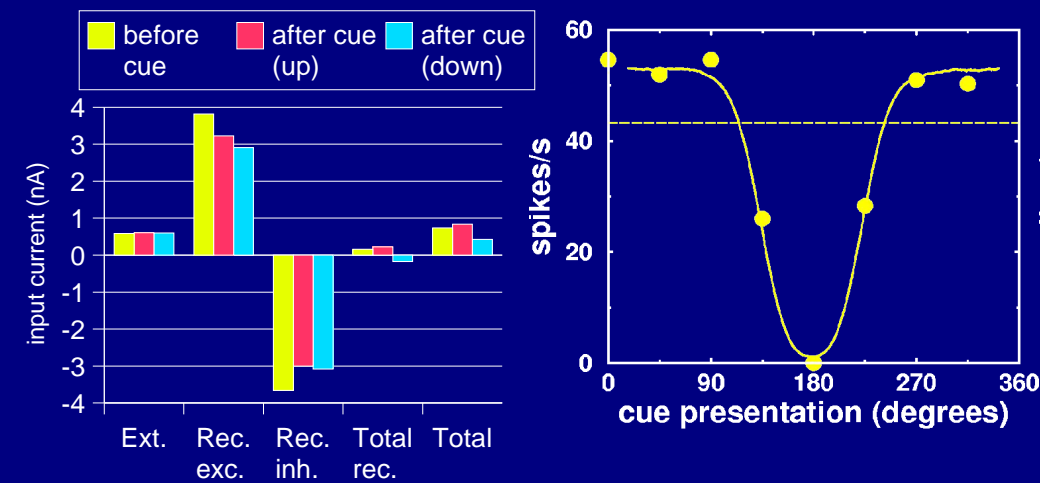
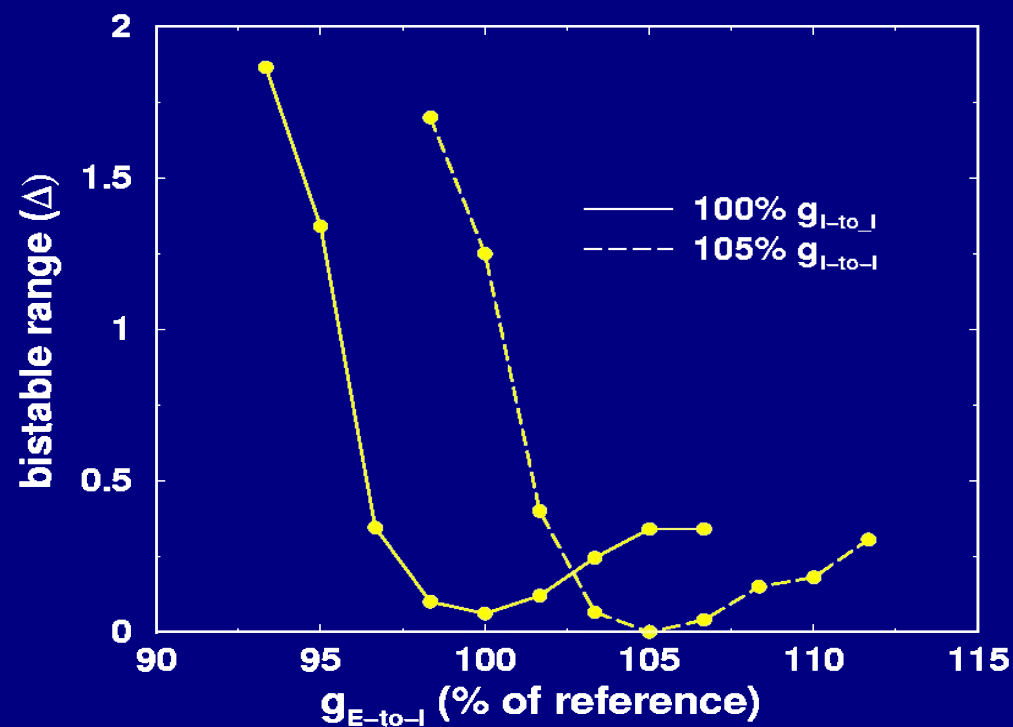
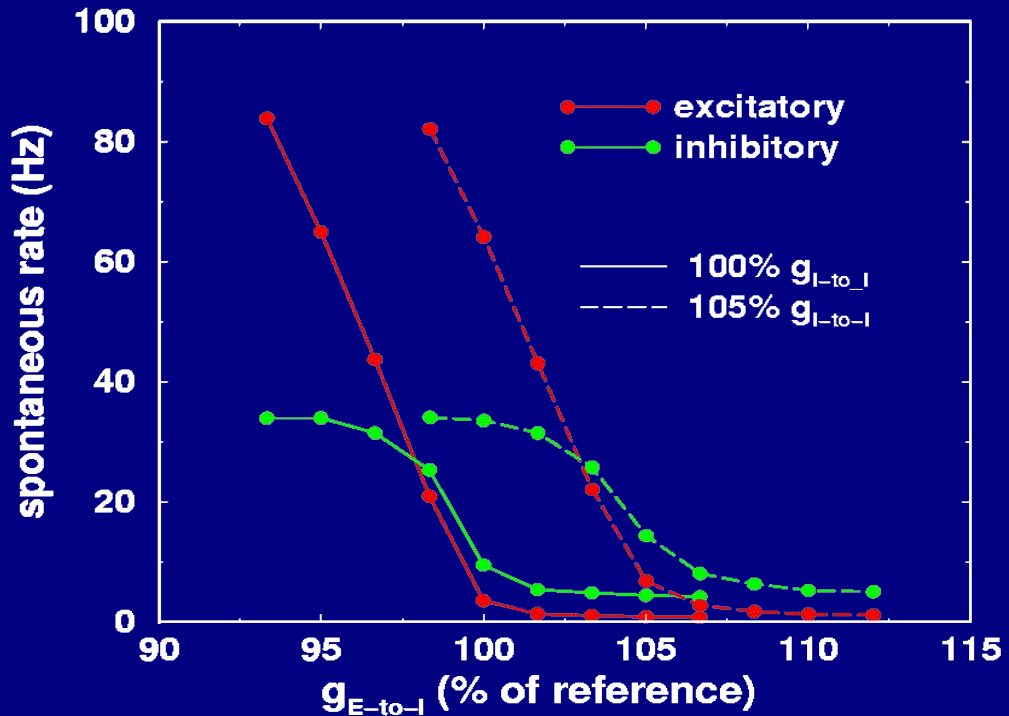
Funahashi *et al.*, J. Neurophysiol. 61, 331 (1989)

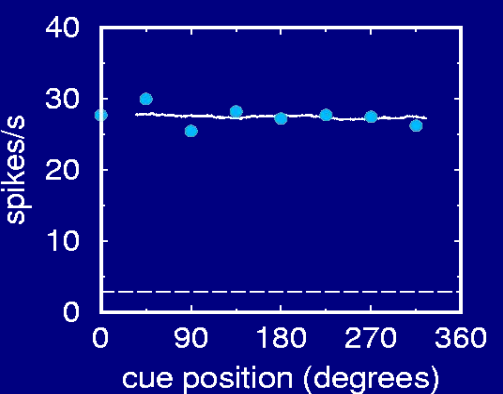
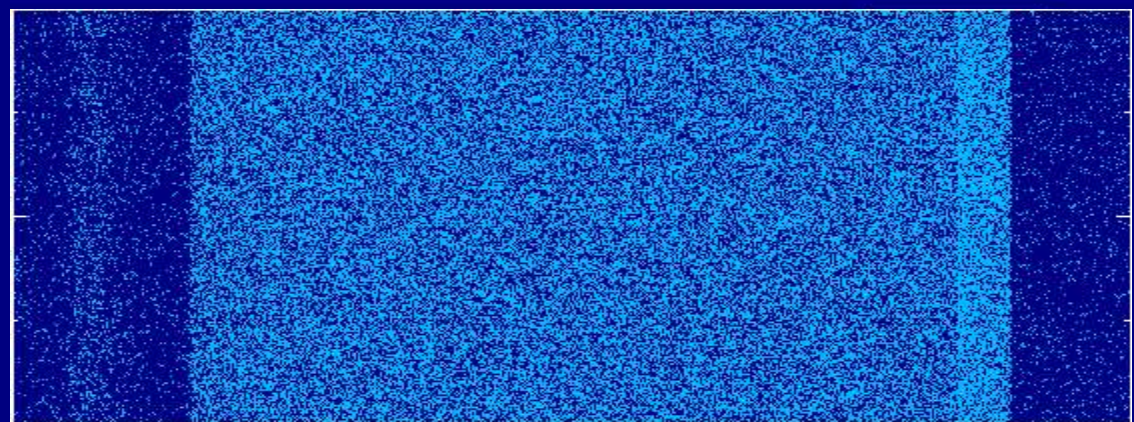
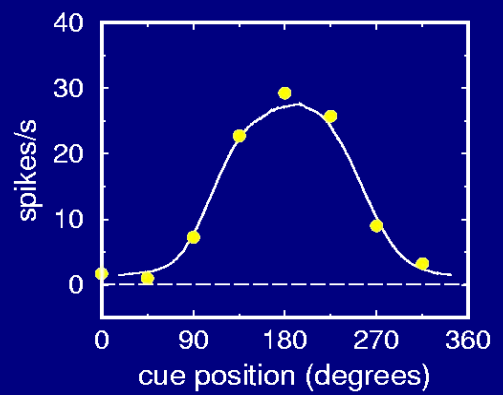
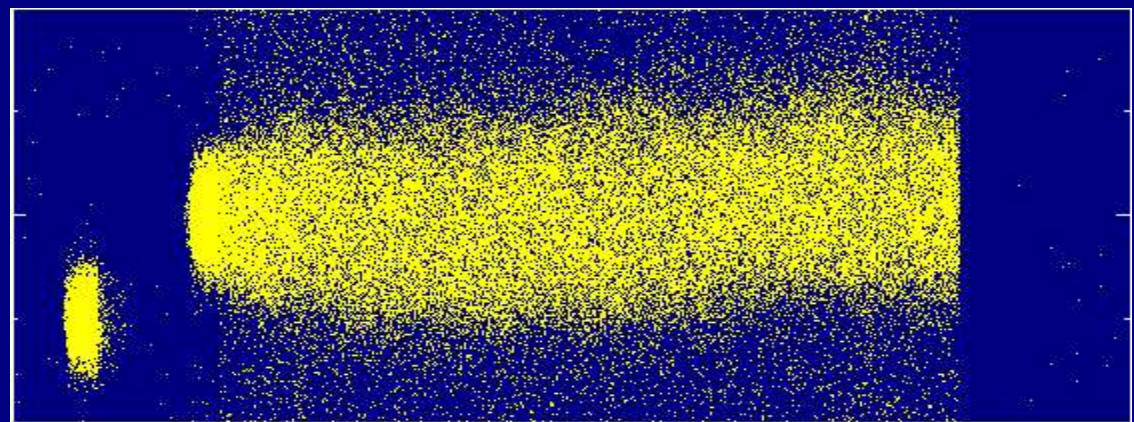
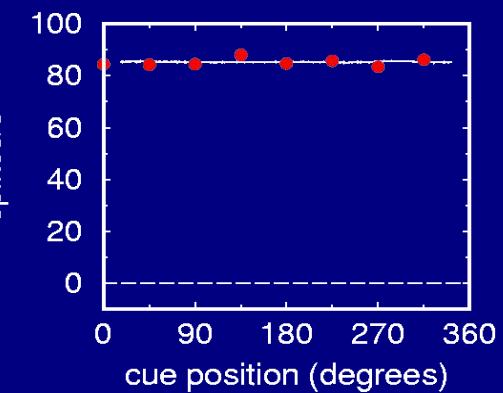






Inhibition





1 s